

VENUS Transition

Radiation Detector の ピークテスト

1987. 3.

塚本朗

## 要旨

誘電率の異なる物質の境界を荷電粒子が通過する際に、その粒子のローレンツ因子に比例したエネルギーの光子を放出する現象を Transition Radiation (以下TR) という。この現象は 高エネルギー実験での粒子の選別に応用されている。TRISTANのVENUS測定器にも、TRDを組み込む計画があり これまでのビームテストでは X線領域の光子を放出させるためのradiatorとして ポリプロピレン ファイバーを用い、Xe チェンバーでそのシグナルを測定することにほぼ決定している。更に今回はradiatorとチェンバーの隔壁についてもテストし、厚さ4.5 cm のフェルト状のファイバーのradiatorとCFRTPの隔壁の組み合わせで 電子の収率90%のとき  $\pi$  中間子のcontamination 5.9 %を得た。

## 目次

1章 はじめに

2章 Transition radiation の一般論

1. 1層の境界面の場合
2. 1層の媒質がある場合
3. 多層の媒質がある場合
4. TRD のデザイン

3章 テスト用 TRD の構造

1. Radiator
2. Multi Wire Drift Chamber
3. 隔壁

4章 実験の方法

5章 解析 及び 結論

1. イベントの選別

1-1 ビーム・ドリフト・チェンバー

1-2 鉛ガラス カロリメーター

1-3 MWDC

## 2. TRDによる粒子同定の方法

2-1. Truncated mean method

2-2. Likelihood method

## 3. 結果と考察

3-1. 粒子のチャンバー上の通過位置依存性

3-2. ゲイシンの酸素濃度依存性

3-3 選別能力の入射粒子の運動量

による依存性

3-4 radiator のテスト

3-5 隔壁のテスト

## 4. まとめ

謝辞

Appendix

## 1. はじめに

1986年11月に稼動を始めたTRISTANは重心系でのエネルギーが50から70GeVの電子-陽電子衝突型加速器である。この加速器を用いて、高エネルギーでのQEDやQCDの研究、標準理論で予言されているHiggs粒子やトップ・クォーク探し、次世代レプトン探し、Z<sup>0</sup>物理の研究、新現象の探索などが行われる。特に、新粒子の発見は欧米で稼動中の陽子-反陽子衝突型の加速器ではデータ解析の上で困難であるといわれており、TRISTANに期待されている。

新粒子の発見には、大きな立体角をカバーすること、ルミノシティーを正確にモニターすること、レプトンとハドロンを正確に同定できること、などが必要される。中でも、レプトンとハドロンの同定がどのように有効かを見てみよう。

### a) ヒッグス粒子探しにおいて

ヒッグス粒子の質量が、トップ・クォークとその反粒子の束缚状態であるトップニウムよりも軽いとしたら、トップ・クォークの質量を25GeVと仮定すると、トップニウムは約1%の分岐比でそれぞれ1つのヒッグス粒子と光子に崩壊する。ヒッグス粒子はさらにb<sup>-</sup>b<sup>+</sup>クォーク対に崩壊するので、単色の光子とその反対方向に2つのハドロンジェットの出たイベントを観測すればよい。しかし、これとまぎらわしい終状態の反応がいくつがある。i) トップニウム

の  $gg$  への崩壊、ii) 始状態の  $e^+e^-$  からの強い光の放射、iii) アイソレートした  $\pi^\pm$  を含むハドロンジェットなどである。しかし、ヒッグス粒子が  $b\bar{b}$  クォーク対よりも重ければ、ヒッグス粒子は  $b$  と  $\bar{b}$  に崩壊しやすく、 $b$ -クォークは高い確率で運動量の大きい レプトンを含む状態へと崩壊する。一方先に述べたバックグラウンドは、その終状態に少しのレプトンしか含まれないので、ハドロンとレプトンを同定することでバックグラウンドを抑えることができる。

### b) ツップ・クォークの弱崩壊

ツップ・クォークは主にボトム・クォークに崩壊し、ストレンジ・クォークに崩壊する分岐比は 1% 程度だそうと予言されている。この予言は レプトンの運動量スペクトルを測定することで確かめられる。fig. I-1a は  $t \rightarrow b, b \rightarrow c, c \rightarrow s$  というカスケード崩壊の際に観測される電子の運動量、fig. I-1b は  $t \rightarrow s$  という崩壊の際に観測される電子の運動量である。特に  $2 \sim 7 \text{ GeV}/c$  の領域に相異があるので、この領域で電子を正確に同定することが上の予言を確かめる上で必要である。

TRISTAN の VENUS 検出器は、初期の段階では おもにハドロンを TOF カウンターで、光子と電子を 液化アルゴン 及び 鉛ガラスカロリメーターで、そして ミューオンは ミューオン検出器を用いて粒子の同定を行う。中でも 鉛ガラスカロリメーターは

$2 \text{GeV}/c$  の入射粒子に対して 電子の収率 90% のときに  $\pi/e$  rejection factor は 0.1 ~ 0.5% 程度である。(fig. 1-2) しかし、この数  $\text{GeV}/c$  の運動量の領域では クオark の弱崩壊によつてできる電子の数が 同じ崩壊による  $\pi$  中間子の数の 100 分の 1 以下なので 更に 精度の高い レプトン・ハドロン の同定が 要求される。そこで VENUS には 非破壊 レプトン・ハドロン 同定を行う Transition Radiation Detector (以下 TRD) を組み込む予定があり、fig. 1-3 のように TOF カウントーの内側に  $r = 126 \sim 161 \text{ cm}$  の間が 空けてある。

Transition Radiation (TR) とは、電磁気的性質の異なる物質の境界を 荷電粒子が通過する際に 光子を放出する現象で、Ginzburg らによって 初めて 予言された。(Ref. 1) TRD は、この光子のエネルギーが 入射粒子のローレンツ因子に 比例するという性質を利用して 運動量のわかつて いる 荷電粒子の同定を行ふ測定器である。我々の TRD は 主に 数  $\text{GeV}/c$  の 電子と  $\pi$  中間子の同定を目的としているが、更に 高エネルギーで  $\pi$  中間子と  $K$  中間子の同定に使おうとする 試みもある。(Ref. 2)

ここでは 主に、1986年 7月に行われた TRD の テスト結果を 報告する。Transition radiation を 起こさせるための radiator として Li フォイルと ポリプロピレン・ファイバーを 比較する テストを 我々は 以前に行つた。その結果、Li フォイルから発生

する光子の数はポリプロピレンの場合に比べて多いが、そのエネルギーは低く吸收されやすいので最終的な性能はポリプロピレンの方が優ることがわかった。また、VENUS TRDのように大型になる場合のコスト、製作の容易さの点でもポリプロピレンファイバーがすぐれている。今回は綿状とフェルト状のポリプロピレン・ファイバーのradiatorのテストと共に、大型TRDでradiatorとチェンバーの隔壁として充分な強度を持ちしかもX線の吸収の少ないCFRPとCFRTPを使用した場合についてもテストした。一方、チェンバーについては、ゲインの粒子の通過位置依存性と酸素濃度依存性についても調べた。

TOFカウンターの内側の厚さ32cmのすき間に入れるTRDは4層のradiatorとチェンバーの組から成る予定である。従って今回のテスト用TRDもradiatorとチェンバーの厚さをそれぞれ4.5cm, 2.0cmとした。

## 2. Transition Radiation の一般論

電磁気的性質が異なり、半無限の広かりをもつ2つの媒質の境界を荷電粒子が通過するとき、その境界面での電磁場のつじつまがあのように輻射がおきる。この現象を transition radiation という。

荷電粒子が媒質1を通過しているとき、粒子の作る電磁場は、非齊次なマックスウェル方程式の解の1つである。同様に媒質2での電磁場も得られるか、この2つの解が、境界面での連続の方程式を満足するためには、齊次マックスウェル方程式の解の1つも重ね合わせの原理に基づいて各媒質中の解に加えなければならぬ。この齊次マックスウェル方程式の解が transition radiation である。

この章では TRD の理解に必要な最小限の解説にとどめ、詳しい議論は Appendix にゆずる。

### 2-1 1層の境界面の場合

媒質のガラスの振動数  $\omega_p$  は、電子の質量と媒質中の電子の密度  $n_e$  を用いて

$$\omega_p = \left( \frac{4\pi\alpha n_e}{m_e} \right)^{1/2} \quad (2-1a)$$

$$\approx \left( \frac{2Z}{A} \times \rho [g/cm^3] \right)^{1/2} \times 21 \text{ eV} \quad (2-1b)$$

とあらわされる。以下では 媒質1は密な物質、媒質2は真空またはガスを想定し、 $\omega_{p_1} > \omega_{p_2}$  とする。

入射粒子のローレンツ因子を  $\gamma$ , transition radiation による光子の角振動数を  $\omega$  とすると、単位立体角、単位振動数当りに放出されるエネルギーは、 $1 \ll r; \theta \ll 1$ ;  $(\omega_{p_1}/\omega)^2, (\omega_{p_2}/\omega)^2 \ll 1$  の下では

$$\frac{dE_0}{d\omega d\Omega} = \frac{\alpha}{\pi^2} \begin{vmatrix} \theta & \theta \\ r^2 + \theta^2 + (\omega_{p_1}/\omega)^2 & r^2 + \theta^2 + (\omega_{p_2}/\omega)^2 \end{vmatrix} \quad (2-2)$$

である。ここで、 $\theta$  は 粒子の境界面上の通過点から粒子の軌跡を基準に測った角度である。この式の導出は Ref. 12 に詳しく書かれている。

輻射の起因方は 入射粒子の軌跡と境界面のなす角にはほとんど依存せず、また、この輻射は 粒子の進方向に向って開いた  $r^2 + (\omega_{p_2}/\omega)^2 < \theta^2 < r^2 + (\omega_{p_1}/\omega)^2$  の狭い円錐形に放射される。この角度は  $\theta$  が 数千のときには  $0.1^\circ$  にも満たないので、普通の TRD では角度は観測しない。

そこで(2-2) の角度積分を実行すると、次のようになる。(fig. 2-1)

$$\frac{dE_0}{d\omega} = \frac{\alpha}{\pi} F(x_1, r)$$

$$F(x, r) = \frac{1+r+2x^2}{1-r} \log \frac{x^2+1}{x^2+r} - 2 \quad (2-3)$$

ただし、 $x_{1,2} = \omega/r\omega_{p_{1,2}}$ ,  $r = \omega_{p_2}^2/\omega_{p_1}^2$  と定義する。(2-3)について、3つの極限を考えてみる。ただし、いずれにおいても  $r \ll 1$  とする。

a)  $r \ll \omega/\omega_{p_1}$ , ( $1 \ll x_1$ ) の場合

$$\frac{dE_0}{d\omega} = \frac{\alpha}{6\pi} \left( \frac{r\omega_{p_1}}{\omega} \right)^4 \quad (2-4a)$$

となり) このとき  $dE_0/d\omega$  は非常に小さい。

b)  $\omega/\omega_{p_1} \ll r \ll \omega/\omega_{p_2}$

( $X_1 \ll 1 \ll X_2$ ) の場合

$$\frac{dE_0}{d\omega} = \frac{2\alpha}{\pi} \left( \log \frac{\gamma \omega_{p_1}}{\omega} - 1 \right) \quad (2-4b)$$

となり、ローレンツ因子  $\gamma$  の対数に比例する。

c)  $\omega/\omega_{p_2} \ll r$  ( $X_2 \ll 1$ ) の場合

$$\frac{dE_0}{d\omega} = \frac{2\alpha}{\pi} \left( \log \frac{\omega_{p_1}}{\omega_{p_2}} - 1 \right) \quad (2-4c)$$

と定数になる。

以上から我々は transition radiation によって充分な量の光子を得るには  $\omega \leq r\omega_{p_1}$  を満たす必要があることがわかる。また、媒質 2 が真空 ( $\omega_{p_2} = 0$ ) でない限り、c) のように ローレンツ因子  $\gamma$  の増加に対して transition radiation は飽和を起こす。これは TRD の性能の限界を決める大きな要因の 1 つとなる。

(2-3) を光子の角振動数  $\omega$  で積分すると transition radiation によって放射される全エネルギーが求められる。これは、

$$E_0 = \frac{\alpha}{3} \frac{(\omega_{p_1} - \omega_{p_2})^2}{\omega_{p_1} + \omega_{p_2}} r \quad (2-5)$$

となる。同様に (2-3) から 光子の平均のエネルギー  $\bar{\omega}$  (= 角振動数) も求められる。

$$\bar{\omega} \approx \frac{3}{4\pi} \omega_{p_1} r \quad (2-6)$$

となる。ただし  $r \ll 1$  とした。通常の TRD では、

この条件はみたされる。例えば、ホリプロピレン ( $\omega_{p_1} = 19 \text{ eV}$ ) と空気 ( $\omega_{p_2} = 0.7 \text{ eV}$ ) の境界を  $2 \text{ GeV}/c$  の電子 ( $\gamma = 4000$ ) が通過するととき、 $\gamma = 1.4 \times 10^{-3} \ll 1$  で、 $\bar{\omega} \sim 18 \text{ keV}$  である。このように、普通 TRD では X 線領域の光子が発生するか、低いエネルギーの光子は観測する以前に吸収されてしまう。一方、fig. 2-1 でわかるように transition radiation 光子は低いエネルギーほど多く発生する。従って、現実的な議論をするために、光子のエネルギーにあるカットオフ  $\omega_0$  を設けて、それより高いエネルギーの光子に注目しよう。transition radiation で発生する  $\omega_0$  より高いエネルギーの光子の全エネルギーは、 $\gamma \ll 1$ ;  $\omega_0 / \gamma \omega_{p_1} \ll 1$  の下では fig. 2-2 のようになる。また、同様に  $\omega_0$  より高いエネルギーの光子の总数を fig. 2-3 に示した。例えば、 $\gamma = 4000$ ,  $\omega_{p_1} = 19 \text{ eV}$  のとき、光子の数は

$$N_0(\omega > 2 \text{ keV}) \approx 0.5\alpha \quad (2.4a)$$

$$N_0(\omega > 8 \text{ keV}) \approx 0.6\alpha \quad (2.4b)$$

と高々  $\alpha (= 1/137)$  のオーダーである。従って transition radiation を測定器に応用する場合、粒子の入射に対して確実に光子を発生させるためには、数百層の境界面をもった radiator を用いなければならぬ。また、fig. 2-2, 2-3 から、光子の全エネルギーはローレンツ因子  $\gamma$  にほぼ比例するか、总数は  $\gamma$  に対してゆるやかな増加しかしないことがわかる。

## 2-2 1層の媒質がある場合

媒質2で満たされた空間に、粒子の軌跡に対する厚さが  $l_1$  の媒質1が横たわっている場合を考える。この場合、2-1で論じた境界面は2層あるが、各層から発生した光子がお互いに干渉しあう。その結果(2-2)の  $d^2E_0/d\omega d\Omega$  に対して

$$\frac{d^2E_1}{d\omega d\Omega} = \frac{d^2E_0}{d\omega d\Omega} \times 2 \times \left(1 - \cos \frac{l_1}{Z_1(\theta)}\right) \quad (2-5)$$

となる。ただし、ここで

$$Z_{1,2}(\theta) \simeq \frac{2}{\omega} \left( \theta^2 + \Gamma^{-2} + \frac{\omega_{p1,2}^2}{\omega^2} \right)^{-1} \quad (2-6)$$

と定義する。特に  $Z_{1,2}(0)$  は formation zone と呼ばれ、媒質2を通してまた荷電粒子の作る電磁場が、媒質1中の新しい平衡に達するのに必要な長さと解釈できる。媒質1が薄く、 $l_1 \ll Z_1(\theta)$  であるときは、transition radiation は境界面が1層の場合に比べて、ほとんど外にあらわれない。(Ref.3)  
更に、(2-5)を角度で積分する。その結果を

$$\nu = \frac{2\omega}{l_1 \omega_{p1}^2}, \quad \Gamma = \frac{2\Gamma}{l_1 \omega_{p1}} \quad (2-7)$$

というパラメタを用いて次のようにかく。

$$\frac{dE_1}{d\nu} = \frac{2\lambda}{\pi} G(\nu, \Gamma) \quad (2-8)$$

$G(\nu, \Gamma)$  のふるまいは fig. 2-4 に示した。

## 2-3 多層の媒質がある場合

多層の媒質がある場合には 1層の場合の輻射場の振幅を位相差と減衰を考慮して重ね合わせればよい。すなわち、媒質の吸収係数を  $\mu_{1,2}$  とし、(2-6)で定義した  $Z_{1,2}(\theta)$  を用いて、

$$\frac{d^2E_N}{d\omega d\Omega} = \frac{d^2E_1}{d\omega d\Omega} \times \frac{1 + e^{-N\sigma}}{1 + e^{-\sigma}} - 2e^{-\frac{\sigma}{2}} \cos N\phi \quad (2-9)$$

とあらわされる。ただし、 $N$  は層の数でありまた  $\sigma, \phi$  を次のように定義した。

$$\sigma = \mu_1 l_1 + \mu_2 l_2 \quad (2-10)$$

$$\phi = \frac{l_1}{Z_1(\theta)} + \frac{l_2}{Z_2(\theta)} \quad (2-11)$$

(2-9) の角度積分は、近似的に

$$\frac{dE_N}{d\omega} = 4\pi^2 N_{eff} \sum_k \frac{d^2E_1(\theta_k)}{d\omega d\Omega} \quad (2-12)$$

ただし、 $\theta_k$  は

$$\phi_1(\theta_k) + \phi_2(\theta_k) = 2\pi k \quad (2-13)$$

をみたすもの。また、 $N_{eff}$  は

$$N_{eff} = \frac{1 - e^{-N\sigma}}{1 - e^{-\sigma}} \quad (2-14)$$

$N_{eff}$  が  $\sigma$  にどう依存するかを fig. 2-5 に示した。

また、fiber のように不規則な厚さと间隔でならんだ多層の媒質を用いる場合には、多層での干渉を考えず、(2-5)あるいは(2-8)を  $N_{eff}$  信すれば、エネルギーの分布が得られる。

## 2-4 TRD のデザイン

TRDは radiatorとチエンバーから成る。TRDが最大限の性能を得るためにのデザインの方法を以下に示す。

先ず、radiatorのデザインは、使用するエネルギー領域での粒子のローレンツ因子 $\gamma$ は決まっているので、その $\gamma$ に対して最適な媒質及びその厚さを選択しなくてはならない。多層の場合でも、(2-6)のように transition radiation 光子の角振動数は 媒質のプラズマ振動数 $\omega_p$ にほぼ比例する。従ってなるべくプラズマ振動数の高い媒質を radiator に使うべきである。また、各層からの transition radiation は (2-8) 及び fig. 2-4 に見るように干渉によって特定の角振動数の光子が強められて出てくる。この干渉のパラメータ (2-7) を改めて次のようにあらわす。

$$v = \frac{\omega}{\omega_1} = \frac{\omega}{r_1 \omega_{p1}}, \quad r = \frac{r}{r_1} \quad (2-15)$$

ただし、

$$\omega_1 = \frac{l_1 \omega_{p1}}{2} = 2.5 \omega_{p1} [\text{eV}] l_1 [\text{mm}] \quad (2-16)$$

$$r_1 = \frac{l_1 \omega_{p1}^2}{2} = 10^4 (P_1 l_1 [\text{g cm}^{-2}]) [\text{keV}] \quad (2-17)$$

また  $P_1$  は媒質 1 の密度である。fig 2-4 では  $v^\perp = \pi, 3\pi, \dots$  で 強めある干渉か、 $v^\perp = 2\pi, 4\pi, \dots$  では 弱めある干渉かおこっているのがわかる。

$\nu^+$  =  $\pi$  の干渉の山は幅が広いので、これを用いると広い帯域の角振動数の光子を干渉によって多く発生させることができ。transition radiation によって発生する光子のエネルギーの分布は (2-3), (2-4) からわかるように  $\nu/\omega$  で“スケール”するので、 $\nu^+ = \pi$  と固定すると、 $\Gamma$  によって変化する。 $\Gamma$  は大きいほど、言いかえれば (2-17) で定義した  $\ell_1$  が小さいほど発生する光子の量が増す。以上を考慮に入ると、発生する光子の平均角振動数  $\bar{\omega}$  が  $\nu^+ = \pi$  を満たすように  $\omega_1$  を設定せば、または、想定される入射粒子のローレンツ因子に比べて低くなるように設定すればよい。実際には、変化させることのできるパラメータは限られており、両者のかねあいか“重要”である。以上は各層での光子の発生に用いたデザインだが、実際に多層で使用する場合には radiator 自身での光子の吸収が問題となる。物質による光子の吸収は低い角振動数に対しては光電効果によって、そしてある振動数  $\omega_k$  を境にそれ以上では弾性散乱による吸収が主におこり、それに伴って吸収係数は fig 2-6 のように変化する。従って transition radiation によって発生する光子の平均のエネルギー  $\bar{\omega}$  を  $\omega_k$  より大きく設定すると、吸収の少ない帯域を安定に利用できる。また、各層の間隔は formation zone 効果を考慮に入ると一層の厚さの 5 倍前後が適当である。

一方、チエンバーは radiator で発生した光子を確実にとらえて信号に変換する役目を負う。従って radiator で発生する光子の平均角振動数  $\bar{\omega}$  の 2 倍の角振動数をもつ光子に対して厚さ 1 吸收長くらいは必要である。

吸収係数の大きい Xe や Kr ガスを用いたプロポーションナル・チャンバーはコンパクトでありながら先程の条件を満たすことができる。特に Xe は光子と荷電粒子とのエネルギー損失の比が最も良い。ただし Xe には 5 keV に吸収端があるので、transition radiation による光子の全エネルギー及び総数は fig. 2-2, 2-3 でカットオフ  $\omega_0 = 5 \text{ keV}$  の場合に相当する。

fig. 2-7 に、各種の radiator の素材の性質を示す。ここにある natural threshold とは、(2-15) にあらわした  $\nu$  に関する式について  $\omega = \omega_K$ ,  $\nu^{-1} = \pi$  をみたすときに決まる  $\nu$  の値であり、radiator を最適化したときに出てる光子の量は  $\nu$  が低いほど多い。最後にこの表を参考にしていくつかの素材の特徴をみてみよう。

LiH: 乙が Li より更に小さく、従って X 線の吸収が少ない点は良いが、毒性があり活性が高いので取りあつかいに注意を要する。また、普通は粉末状なので望む厚さが得にくい。

Li: 乙は LiH に次いで小さいが、プラズマ周波数が LiH や CH<sub>4</sub> に比べて小さいので発生する光子の角振動数も低く X 線の吸収に肉では必ずしも有利ではない。また、水と激しく反応するので湿度の管理が必要で、更に、純金属なので多層にした場合となり合う層がくっつくので表面にオイルをぬるなどの

対策が必要。延性はよいので充分うすい  
フィルムに加工できる。(Ref. 2, 4, 5, 6)

Be : プラズマ周波数が特に高く、しかも乙が  
小さいので radiator としての素質はある。しか  
し強い毒性をもち、うすいフィルムは特に高価  
である。

ポリプロピレン( $\text{CH}_2$ ) : 以上の 3 種類に比べると  
X線の吸収が多い。しかし プラズマ周波数  
は LiH なみで Li より大きいので 以前の  
我々のテストでは 平均角振動数の高い光子  
を発生させる ポリプロピレンの方が Li よりも  
radiator として高い性能を示した。また、フィルム  
やファイバー状のものが入手しやすく、とり  
あつかいも 特別な注意を必要としない。  
(Ref. 7 )

Mylar : 24 eV の プラズマ周波数をもつ。分子  
を構成する原子の種類は ポリプロピレン  
と同じく 炭素と水素である。フィルム状  
に加工されている。(Ref. 2, 5, 7)

### 3. テスト用 TRD の構造

テスト用測定器は、入射粒子に transition radiation を起させるための radiator と、入射粒子と transition radiation 光子のエネルギー損失を測定する Multiwire Drift Chamber から成り、その間に 2つを隔てる隔壁がある。

#### 3-1 Radiator

Radiator の素材として我々はポリプロピレン ( $\text{CH}_2$ ) を用いた。綿状とフェルト状に加工されたポリプロピレン・ファイバーがあり、これらを用いて次の 3つのタイプの radiator を用意した。

type I：綿状のポリプロピレンファイバーを断面積  $10 \times 10 \text{ cm}^2$ 、厚さ  $4.5 \text{ cm}$  の四角柱状にパックしたもの。糸の直径は  $18, 26, 34, 54 \mu\text{m}$ 、総量は  $30, 40, 50, 60, 67 \text{ g}$  を用意した。

type II：フェルト状に加工されたポリプロピレンファイバーを用いた。ファイバーの直径は  $18 \mu\text{m}$ 、フェルト一枚は面積  $10 \times 10 \text{ cm}^2$ 、厚さ  $4.3 \text{ cm}$ 、質量  $5 \text{ g}$  であり。これを 10 枚あるいは 11 枚重ねたものを用意した。

type III：綿とフェルトの複合型。断面積  $10 \times 10 \text{ cm}^2$ 、厚さ  $4.5 \text{ cm}$  の四角柱の枠の中

に綿状のファイバーをつめ、そのふたと底に、type II で用いたフェルト 1/2枚ずつを使つたものである。ファイバーの直径は綿、フェルト共に 18mm、綿の質量は 50, 60, 70 g を用意した。

### 3-2 Multi Wire Drift Chamber

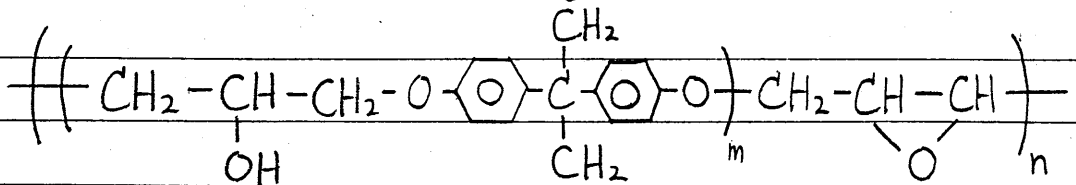
MWDC は 厚さ 2.0 cm、センスワイヤとホーテンシャルワイヤの間隔が 0.5 cm である。チャンバーの前面には  $10 \times 10 \text{ cm}^2$  の窓があり、厚さ 30  $\mu\text{m}$  のアルミニナイズド・マイラーでふさがれており、この窓には radiator を置くためのフードがある。(fig. 3-1)

チャンバーガスは  $\text{Xe}(90\%) + \text{CH}_4(10\%)$  を用いる。Xe は高価だが、6 keV と 10 keV の光子をこのチャンバーで補捉する確率は、Ar を用いた場合にはそれぞれ 61% と 18% だが、Xe を用いると それぞれ 99.9% と 83% である。TRD で高い性能を得るためには、radiator から放射される X 線領域の光子をできるだけ確実に補捉する必要があるので Ar よりも Xe を用いるのである。

### 3-3 隔壁

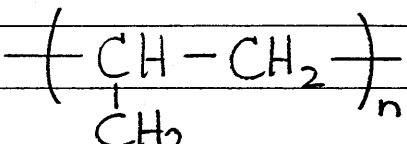
VENUS TRDは 直径約1.4m, 長さ約4mの円筒形で それを縦方向に 8等分して製作する予定である。このような大型のTRDでは radiatorとチエンバーの隔壁の素材の選択が重要である。隔壁には 広い面積を支える強度とX線の吸收の少ないことが要求される。ソーステストの結果候補に残った次の2つを用意した。

a) Carbon Fiber Reinforced Plastic  
CFRPとは、その名の示す通り カーボンファイバーを プラスチックで 固めたものである。そのプラスチックの構造式は次の通りである。



我々は 厚さ3mmの20倍発泡アクリルフォームを 厚さ0.1mmのCFRP 2枚で はさんで接着したもの用意した。

b) Carbon Fiber Reinforced Thermal Plastic  
CFRTPは CFRPの場合とは異なる 熱可塑性のプラスチックで カーボンファイバーを固めたものである。そのプラスチックの構造式は次の通りである。



a)と同様のアクリルフォームを厚さ0.1mmのCFRTP

2枚ではさんで接着したもの用意した。

## 4. 実験の方法

実験は 高エネルギー物理学研究所の陽子シンクロトロンの T2 ビームラインで行った。各測定装置は fig. 4-1 のように設置した。ビームの最上流と最下流には 元中性子と電子とを選別するためのガス・チレンコフカウンターと 鉛ガラス・カロリメータを置いた。TRD の前後には ビーム・ドリフト・チャンバー（図中 BDC1,2）を置き、入射粒子の軌跡を決定し、粒子の TRD の MWDC 上での通過点を求めるのに用いた。また、ビーム・ドリフト・チャンバーの上流に 3 枚下流に 1 枚の シンチレーション・カウンタをトリガ用に置いた。（図中 T1～T4）運動量 1, 2, 3 GeV/c のビームを 4 倍極磁石で集束して用いた。

TRD の MWDC には mass flow controller によって Xe 90%, CH<sub>4</sub> 10% に保たれた混合ガスを 流量 40 cc/min で 流しつづけた。また、チャンバーから出たガスの N<sub>2</sub>, O<sub>2</sub>, CH<sub>4</sub> 濃度を ガス・クロマトグラフィーによって測定した。酸素濃度依存性のテストの際には、一度チャンバーのガス入口と出口を開放して 大気にさらし 注射器を使って 100 cc の空気を注入し、その後 ガス径路を元にもどして 流量 40 cc/min で 混合ガスを流した。

MWDC のゲインは <sup>109</sup>Cd (22 keV X-ray) を用いて 調整した。

データ収集のトリガは 4 枚の シンチレーションカウンタの信号の論理積によった。ビーム・ドリフト・チャンバー

の信号は ディスクリミネーターを通過したあと TDCへ、  
TRDの信号は チャージアンプを通過したあと ADCへ送り、  
それぞれ CAMACで処理して PDP-11で読み込んだ。

## 5. 解析 及び 結論

### 5-1 イベントの選別

#### 5-1-1 ビーム・ドリフト・チェンバー

ビーム・ドリフト・チェンバーは TRD の上流、下流合流して 7 層あり、これらのデータから 粒子の軌跡を 直線で フィットした。このとき、求めた軌跡との 残差が  $1.5 \text{ mm}$  以上のデータは棄却し、生き残ったデータを用いて 再び 軌跡を求めた。ここで生き残ったデータが 6 組に満たない イベントは棄却した。この結果、生き残ったどのデータについても 残差は  $93\%$  以上の イベントで  $0.5 \text{ mm}$  以下に なった。(fig. 5-1)

#### 5-1-2 鉛ガラスカロリメータ

fig. 5-2 は チェレンコフ・カウンターをトリガに コインシデンス したときと しないときの 鉛ガラスカロリメーターの パルスハイト スペクトルである。パルスハイトの高 方のピーカーが 電子、低 方のピーカーが 元中間子 の信号である。元中間子と電子との選別を行うために、ビームの運動量に応じて パルスハイト に対するカットオフを 次のように決めた。

(数字は ADC のチャネル数をあらわす。)

$$1 \text{ GeV}/c \quad 100 < \text{P.H.} < 400 \longrightarrow \pi$$

$$620 < \text{P.H.} < 900 \longrightarrow e$$

2 GeV/c     $100 < \text{P.H.} < 650 \rightarrow \pi$

$1100 < \text{P.H.} < 1600 \rightarrow e$

3 GeV/c     $100 < \text{P.H.} < 700 \rightarrow \pi$

$1250 < \text{P.H.} < 1600 \rightarrow e$

### 5-1-3 TRD の MWDC

ビームは センス・ワイヤ3本分のドリフト領域に広がっている。(fig. 5-3) 従ってこの3本のワイヤのシグナルについてのみ解析した。粒子の通過位置によるゲインの依存性は fig. 5-4 に示した通りであり、ポテンシャルワイヤの付近で他の位置より低い。そこで、各センスワイヤの片側  $3\text{ mm}$  以内を粒子が通過したイベントのみを選んで radiator や隔壁の性能を比べる。

### 5-2 TRD による 粒子同定の方法

Transition radiation によって放射される光子のエネルギーは 入射粒子のローレンツ因子  $\gamma$  にほぼ比例する。(§2-5, 2-6) 例えば 2 GeV/c の電子と  $\pi$  中間子の  $\gamma$  は それぞれ 4000 と 15 なので、電子が入射したときには X線領域の光子が発生しても  $\pi$  中間子では全く発生しないと考えてよい。我々は この現象を電子と  $\pi$  中間子の 同定に使おうとしているか。実際に測定した信号から この同定を行うには 大

きく分けて 2つの方法がある。1つは 光子の信号だけをとり出して 直接的に光子放出の有無を知るとする方法で、cluster counting method (Ref. 8, 9) などがこれにあたる。他方は、もともと 元中間子より大きい 電子のエネルギー損失が、X線領域の光子を伴うことによって更に大きくなることを利用するものである。この方法には truncated mean method, likelihood method がある。今回は 後者の 2つの方法を使つた。

### 5-2-1 Truncated mean method

Truncated mean method とは、1組のデータから いくつかのデータを棄却し、残ったデータの平均 (truncated mean と呼ばれる) を求める方法である。

TRD の検出器での 元中間子のエネルギー損失スペクトルは 長いランダウテイルを持ち、電子のエネルギー損失スペクトルとの重なりが大きいので、1つのデータだけでは 粒子選別能力は限られている。そこで、いくつかのデータのうち 最大のものを棄却して残りの平均を求めると、ランダウテイルが小さくなり 元中間子と電子のスペクトルの重なりが減少するので 粒子選別能力が向上する。

実際には、電子が入射したときにそれを電子であるとみなす確率 (電子に対する収率) が

一定の値となるように truncated mean パルス  
 ハイトに対してカットを設ける。そして 入射粒子の  
 truncated mean パルスハイトが このカットをこ  
 えたときは 電子、こえないときは 元中間子とみ  
 なす というふうに 粒子同定を行う。この方  
 法による選別能力の良否は、入射した元中間  
 子が 誤って電子であるとみなされてしまう確  
 率 (contamination) で表わされる。

### 5-2-2 Likelihood method

n組の TRD を 粒子が通過したときの 1番  
 目の TRD での エネルギー損失を  $E^i$ 、また、電子  
 と元中間子の エネルギー損失の 確率密度関  
 数を  $P_e^i(E^i)$ ,  $P_\pi^i(E^i)$  とするとき、尤度関数  
 (likelihood functions) を 次のように定義する。

$$L(e; E) = \prod_{i=1}^n P_e^i(E^i)$$

$$L(\pi; E) = \prod_{i=1}^m P_\pi^i(E^i)$$

このとき、このイベント  $E = (E^1, \dots, E^n)$  が  
 電子によるものである確率  $P_e$  を

$$P_e(E) = \frac{L(e; E)}{L(e; E) + L(\pi; E)}$$

と定義する。あとは truncated mean method  
 と同様に カットを設けて、各イベントの  $P_e$  の  
 値と カットとの大小で 粒子の同定を行う。

Truncated mean method は 電子のエネルギー

損失スペクトルの積分値だけからカットを決めて実際の運用では 1組のデータの平均値を計算するだけである。それに対して likelihood method は 電子と  $\pi$  中間子の エネルギー損失スペクトルの形まで用いてカットを決め、運用する際にデータ 1組毎に尤度関数の値を求める。従て likelihood method は 使用する情報が多いので 得られる選別能力も高いが 運用にあたっては より複雑な処理を必要とする。

今回のテストでは 1組の TRD しかないので 一連のイベントを用いて 仮想的な 4組の TRD のデータを作った。また、likelihood method のための 確率密度関数  $P_e, P_\pi$  は、テストによって 実際に得られたスペクトルから 規格化して作った。truncated mean method の場合も likelihood method の場合も、電子に対する収率が 90% となるように カットを決めた。

## 5-3 結果と考察

様々なテスト結果の前に、典型的なデータをみてみよう。fig. 5-5 は radiator を置かないときの粒子の電離損失である。電離損失だけからは 粒子の同定が 難かしいことがわかる。fig. 5-6 は ポリプロピレンの radiator を置いた場合である。π中間子によるスペクトルは 变化しないか、電子は transition radiation 光子を伴うので スペクトルが エネルギーの高い方へ 移動したのがわかる。このままで 統計的な処理をしないと、電子の收率 90% のときに π中間子の contamination は 約 35% である。fig. 5-7 は fig. 5-6 に含まれる イベントを 4つ1組にして truncated mean をとったものである。特に π中間子のスペクトルのランダウ テイルが 小さくなって π中間子と電子のスペクトルの分離が 良くなっている。fig. 5-8 は fig. 5-7 のスペクトルを 元にして、likelihood method で 入射粒子が 電子である確率を 計算した その分布である。いずれも 4つのイベントから 1つの値を 計算しているので、電子の收率 90% のときの π中間子の contamination は 5% 前後である。

このように、TRD の 性能は contamination では かることができるが、元をただせば、電子が どうた け多くの、エネルギーの高い光子を 伴って 検出されるか で 決まる。以下の テスト結果は その 違いと比べた ものである。

### 5-3-1 粒子のチャンバー上の通過位置依存性

fig. 5-4 は電子と $\pi$ 中間子のチャンバーでの電離損失によるパルスハイトの通過位置に対する依存性を示したものである。これによるとポテンシャルワイヤの付近でチャンバーのゲインが落ちているのがわかる。更に調べてみると、ポテンシャルワイヤの付近でパルスハイトは「下がるが」パルスハイト・スペクトラムの幅は他の位置と比べても少し広い。(fig. 5-9) その結果、TRDの粒子選別能力もポテンシャルワイヤの近くで悪化する。(fig. 5-10)

この原因は MWDC の電場の様子にあると考えられる。すなわち、fig. 5-11 に示した MWDC の等電位面をみるとわかるように、壁面とポテンシャルワイヤが等電位であるために、ポテンシャルワイヤ附近に電位の峰ができる。そこで電位が 0 になる。荷電粒子がこのチャンバーを垂直に通過すると約 80 eV の Xe 原子をイオン化する。充分な電場があるところではイオン化により生じた電子は電場によって Xe イオンから引きはなされ、センスワイヤに向ってドリフトしていくが、電場が弱いところで生じたイオン対は再び元の Xe 原子にとり、センスワイヤには検出されない。従って ポテンシャルワイヤの付近を通過した粒子に対しては、電離損失に比例したパルスハイトが得られないと考えられる。

以上のような、ポテンシャルワイヤ付近でのゲインの低下は、MWDC にワイヤ方向の磁場を与えることで解消された。(fig. 5-13) この原因については、ポテンシャルワイヤ付近の電場の弱いところでの Xe のイオン化により

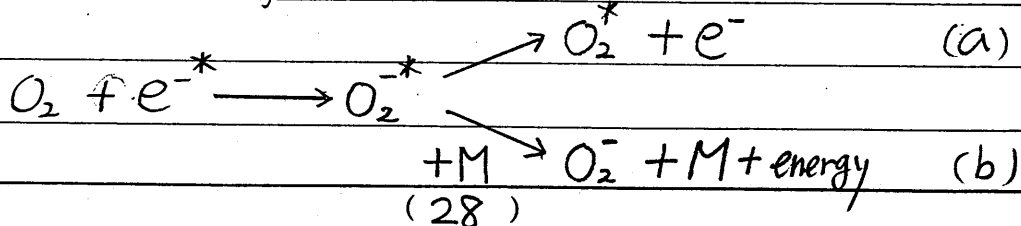
生じた電子が ワイヤ方向の磁場から受けるローレンツ力によって Xe イオンから引きはなされ、充分な強さをもった電場のある領域へ導かれ、その結果 粒子の通過位置に關係なく一定のゲインが得られると考えれば 先程の考察とも両立する。(磁場による力線の変化を fig.5-12 に示す)

VENUS の TRD は 超電導電磁石の内側に おかれ、ワイヤ方向の強い磁場を受けるので ゲインは 粒子の入射位置に依らず一様で、従て 一様な粒子選別能力が得られる。

### 5-3-2 ゲインの酸素濃度依存性

$\pi$  中間子のビームを用いて MWDC のゲインの酸素濃度依存性を調べた。fig.5-14 は チンバーに空気を注入した後の 時間経過と 酸素濃度の関係を示している。データ収集の間の平均の酸素濃度は 図中の曲線から求めた。fig.5-15 に  $\pi$  中間子に対する ゲインの平均値の酸素濃度依存性を示した。更に fig.5-16 は それを 粒子の通過位置別に比べたものである。1000 ppm 以上で ゲインの急激な低下が おこることがわかる。

酸素分子は 電子親和力が 0.44 eV と 低く、電子をとらえて 分子内振動で荷電したイオンになりやすい。(Ref. 10)



(a) は 力起した酸素イオンが 力起した酸素分子と  
エネルギーを失った電子に変わる反応、(b) は 力起した  
酸素イオンが 他の分子との衝突によって エネルギーを失  
う反応である。このような過程で ガス中をドリフト  
している電子のエネルギー あるいは 電子それ自身が  
失われ、ゲインの低下をひきおこす。fig. 5-16 に  
おいて、ポテンシャルワイヤ の近くのゲインが 全ての  
酸素濃度で 低いのは 前節で述べた理由で  
説明がつかず、各位置でのゲインを 低濃度での  
ゲインで 規格化しても ポテンシャルワイヤ付近で  
は 酸素濃度の増大によるゲインの低下が センスワイヤ  
の近くよりも大きい。(fig. 5-17) これには 2つの原  
因が考えられる。1つは、電子がセンスワイヤ付近  
までドリフトしてゆく距離が長いので それだけ酸素  
に吸着される確率が高くなること、もう1つ  
は fig. 5-18 が示すように センスワイヤ付近のよう  
に電場が小さいところでは 酸素が電子を吸着する  
反応断面積が大きいということである。(Ref. 11)

以上のような現象が顕著になるのは 酸素濃  
度が 数百 ppm 以上のときである。従って TRD  
の製作にあたって チェンバー内の酸素濃度が 例え  
ば 100 ppm 以下に保たれると ガスリーを  
減らすことによって TRD は 酸素濃度に対して充分  
安定に運用できる。

### 5-3-3 選別能力の入射粒子の運動量による依存性

我々はビームの運動量を $1, 2, 3 \text{ GeV}/c$ と変化させてTRDのテストを行った。これらの運動量の電子とπ中間子のローレンツ因子 $\gamma$ はそれぞれ2000と7.2, 4000と14.3, 6000と21.5である。入射粒子の電離損失はπ中間子では最小であり電子は充分に相対論的なので運動量とともにゆるやかに増加する。

fig.5-19はtransition radiation光子と共に電子のエネルギー損失のスペクトルである。 $1\text{GeV}/c$ と $2\text{GeV}/c$ のスペクトルでは光子の量に大きな違いがあるが、 $2\text{GeV}/c$ と $3\text{GeV}/c$ ではあまり変化がない。一般にtransition radiation光子の全エネルギーと平均のエネルギーは入射粒子のローレンツ因子 $\gamma$ に比例し、光子の数も $\gamma$ のゆるやかな増加の数であるが(fig.2-2, 3)、radiatorが真空中におかれていなければ、光子の放射は $\gamma$ の増加に対して飽和して、一定量以上には増えなくなる。その条件は $\omega/\omega_{p_2} \ll \gamma$ (式(2-4c))である。

我々のTRDのradiatorは空气中(プラスチック)周波数 $\omega_{p_2} = 0.7\text{eV}$ におかれているので、 $\omega/\omega_{p_2}$ は $10\text{keV}, 20\text{keV}$ の光子に対してそれぞれ526, 1050である。 $2\text{GeV}/c, 3\text{GeV}/c$ の電子のローレンツ因子 $\gamma$ はそれぞれ4000, 6000なので、fig.5-19で $2\text{GeV}/c, 3\text{GeV}/c$ での光子の量の増加が、 $1\text{GeV}/c$ と $2\text{GeV}/c$ での増加に比べて少ないことがこれで理解できる。以上の議論は干渉による効果を考慮に入れないものであったが、干渉の効果はradiatorのプラスチック周波数と厚さでほとんど決まり

ローレンツ因子  $\gamma$  のこの程度 ( $\gamma = 2000 \sim 6000$ ) の変化にはほとんど依存しない。例えば  $20 \text{ keV}$  の光子に対する formation zone は  $\gamma \rightarrow \infty$  の上限  $22 \mu\text{m}$  に対して  $\gamma = 2000, 4000, 6000$  でそれぞれ  $17, 20, 21 \mu\text{m}$  である。発生する光子の量にはほとんど影響しない。

以上のような原因によるスペクトルの変化 (fig. 5-20) によって TRD の粒子選別能力は (fig. 5-21) のように変化する。トランジスタのエミッター領域では元中間子による transition radiation は無視できるので、入射粒子の運動量が  $2 \text{ GeV}/c$  以上では、我々の TRD はほぼ一定の性能で働くはずである。

### 5-3-4 Radiator のテスト

fig. 5-22, 23は、radiator全体の密度と隔壁の素材を同一の条件にしたときの各種の radiator を使った場合の、電子によるエネルギー損失スペクトルと、π中性子の contamination である。ポリプロピレンファイバーの直径が  $18, 26, 34, 54 \mu\text{m}$  と太くなるにつれ、contamination が大きくなっている。一方、ファイバーの太さ (radiator 一層の厚さ) を変えたとき、TRD の理論から、放出される光子のエネルギー分布にどのような変化が起ころうか考えてみる。先ず、radiator 一層からの寄与についてみると、式(2-15)にあらわされる  $\gamma_i = w_p l_i / 2$  ( $l_i$  は radiator の厚さ) が変化する。この変化による寄与は、

$$\Gamma = 2\gamma / w_p l_i, \quad \nu = 2\omega / l_i w_p^2$$

というパラメータを用いて fig. 2-4 に示してあるが（詳細は 2 章を参照） $l_i$  が大きくなるにつれ、放射されるエネルギーは全体に小さくなるが、干涉によって強めあう光子の 1 個あたりのエネルギーは高くなる。次に、radiator 全体の変化としては、radiator の層の数が変化する。すなわち、全体の密度を一定に保った場合、ファイバーの太さが変化すると、層の数も変化するので radiator 全体での光子の吸収係数は変化しない。そして radiator 一層での光子の吸収係数は太さに比例する。この 2 点を考慮すると 式(2-14) にあらわされる  $N_{\text{eff}}$  は fig 2-5 のようにファイバーが太くなると急に少なくなる。ファイバーによる、一層の radiator としての厚さはある値のまわりにランダムなひづがりをもつので、radiator 全体からの光子のエネルギー分布は、

一層からのその Neff 倍程度である。結果的には、以上の効果が、ファイバーが太くなると光子の発生がおさえられるようになる作用していると考えられる。ファイバーの太さを全体の密度が共に等しい場合には、フェルトよりもわた状のファイバーを圧縮したものの方が多少 radiator として性能がよくなる傾向がある。フェルトはファイバーを複雑にからみ合った上でプレスして固めてあるので、わた状のものに比べて、空気の層が薄くないのか原因だと考えられる。

fig 5-24, 25 は同じ太さのファイバーで、radiator 全体の密度を変えたものについての比較である。密度が小さくなると光子の発生量が減って contamination を悪くしている。これは密度が減って radiator としての層の数も減少するのか原因だろうが、かといって密度を大きくしそぎると、空気の層が少くなりすぎてやはり光子の発生量が減ることになると思われる。

今回テストした中では、18μm のわた状ファイバー、密度  $0.15 \text{ g/cm}^3$  の radiator が CFRTP の隔壁を併用して電子に対する効率が 90% のときに元中性子の contamination が 5.4% と最も良く (fig. 5-23, 26) 次いで同じ太さ、密度のフェルトの radiator で contamination は 6.0% だった。わた状のファイバーはこの程度の密度に保つのにかなりの力が必要で、容器には大きな圧力がかかるので、VENUS で使う程の大きな有効面積をもつ TRD の radiator として使うには、隔壁を補強するか、あらかじめ所定の大ささにパックして radiator のスペースに入れるなど、製作に手間がかかる。

それに対して フェルトの radiator は 性能面で  
多少劣るもの、加工は非常に容易である。

### 5-3-5 隔壁のテスト

fig. 5-26 は 3 種類の radiator に対して CFRP と CFRTP を MWDC との間にあわし、この 2 種類の隔壁が 光子を吸収することによる contaminationへの影響を示している。光子を伴った電子のエネルギー損失のスペクトルを fig. 5-27 に示す。

CFRP は CFRTP よりも X 線の吸収が大きいことがわかる。CFRP には 炭素原子よりも 約 3 倍大きい密度吸収係数をもつ酸素原子が含まれている。CFRP と CFRTP の密度は ほぼ等しく、厚さも等しいので、結果的に CFRP は X 線を多く吸収する。これがスペクトルの違いの原因であると考えられる。

VENUS TRD グループでは 更に適当な隔壁の素材をさかしているが、今のところ、強度、X 線吸収の少なさの点で CFRTP が有力である。

## 5-4まとめ

今回のテストで以下のことことがわかった。先ず MWDC は 粒子の通過位置によるゲインの不均一があるものの、実際に VENUS 測定器に組み込まれた場合のような ワイヤ方向の磁場中では その不均一はなくなる。そして 100 ppm あるいはそれ以下の 酸素濃度を保つことできることの 気密性を持たせれば 酸素濃度の多少の変化に対しても ゲインの安定性を保つことができる。次いで radiator は 2 GeV/c の入射粒子に対して ファイバーの直径  $18\text{ }\mu\text{m}$ 、radiator 全体の密度  $0.15\text{ g/cm}^3$  のものが最も良く、電子の収率 90% のときに 元中性子による contamination が 隔壁なしでは truncated mean method で 4.2~4.7%，likelihood method では 3.5~4.0% であり、CFRTP の隔壁を併用した場合には 6.8~7.5% 及び 5.4~6.0% であった。わた状のファイバーと フェルト状のファイバーでは わずかに 前者の方が radiator との性能がよい。radiator と MWDC の間の隔壁の素材についても 同時にテストしたが、外見、強度では 区別のつましく CFRP と CFRTP だが、X線の吸収については 明らかな差があり、CFRTP の方が X線の吸収が少なく TRD に向いている。最後に 入射粒子の運動量による TRD の性能の変化だが、transition radiation の飽和は 電子に対しては  $2\text{ GeV}/c$

くらいから起こる。従って今回のテストでも  $1\text{GeV}/c$  に対しては充分な性能が得られず、また  $3\text{GeV}/c$  に対しても  $2\text{GeV}/c$  のときと比べて特に良い性能は得られなかつた。この transition radiation の飽和領域は radiator を満たしている空気の「プラス」周波数によって決まつてゐる。radiator を真空中あるいは他のガス中に置くことによつて 飽和領域を変化させられるか、TRISTAN で起こる反応の 2 次粒子の運動量を考えると、TRD は  $2\text{GeV}/c$  以上で充分な性能を發揮する。

## 謝辞

最後に この研究の機会を与えていただいた  
大阪大学理学部 長島研究室の教官の方々およ  
び VENUS TRD グループの皆さんに感謝  
いたします。特に、長島順清教授には、学向上の御  
指導、精神的なはげましを受けるにとどまらず足  
腰まで鍛えていただいた。杉本章二郎 助教授に  
もいろいろご配をおかけした。鈴木洋一郎助  
手には直接の御指導をいただき、物理以外にも  
得るところが多かった。幅淳二助手を反面教師として  
人前での話題の運び方を学ばせていただいた。

以上の方々と共に、VENUS TRD グループの  
渡瀬教授、作田誠助手にはこの論文に直  
接かかわる助言をいただくと共に、私の身勝手  
を許して下さって 大変感謝している。広島大学  
の栗原良将氏には TRD のデータ解析について  
教えていただいたし、林原泉氏、千葉助手はお忙  
い中、サトシシフトに加わって下さった。山口慶剛  
氏とは 女性観を共有できましたし、上月登喜男氏  
とは 一時 悩みを共有した。また、上林俊之氏、兼  
松伸幸氏、坂本靜生氏は 高エネルギー実験学を全  
く知らなかた私に 親切に 1から教えてくれ  
て感謝している。山本浩之君、大島君はソフトウェア  
の仕事を手伝ってくれ、金行健治君からはソフトウェア  
の開発に関していろいろ教えていただいた。今村  
哲也君はよき議論の合手になってくれたし、舟越

君、福田君は、気分転換と指の運動を教えてくれた。  
深井香代史の作る明るい雰囲気は何より仕事では  
かどらせた。また 煩雜な事務の手続きを肩代わりして  
下さった秘書の方々にも心から感謝している。

私のこの研究は 以上の方々の 協力、助言、はげ  
まし、御指導をして 寛大な配慮、なしにはあり得な  
かったことを 心から感じ入るとともに、今後も  
一層の御指導を願うものである。

## Appendix

### Transition Radiation の理論

#### A. 一層の境界面の場合

媒質 1, 2 の フラス "マ角振動数を  $\omega_{p1,2}$ , TR 光子の角振動数を  $\omega$  とすると、TR によて 単位立体角、単位角振動数あたりに放出されるエネルギーは、

$$\frac{d^2E_0}{d\omega d\Omega} = \frac{\propto}{\pi^2} \frac{\theta}{r^2 + \theta^2 + (\omega_{p1}/\omega)^2} \frac{\theta}{r^2 + \theta^2 + (\omega_{p2}/\omega)^2} \quad (A-1)$$

ただし、 $r$  は入射粒子のローレンツ因子であり、また  $1 \ll r; \theta \ll 1; (\omega_{p1}/\omega)^2, (\omega_{p2}/\omega)^2 \ll 1$  を仮定した。以下、媒質 1 は密な物質、媒質 2 はガスまたは真空を想定し、 $r \equiv \omega_{p2}^2 / \omega_{p1}^2 \ll 1$  を仮定する。輻射は  $\theta \sim 1/r \ll 1$  に集中しており、角度は普通観測されない。 $d\Omega \approx 2\pi\theta d\theta$  と近似して角度積分を実行すると。

$$\frac{dE_0}{d\omega} = \frac{\propto}{\pi} F(x_1, r) \quad (A-2)$$

$$F(x, r) = \frac{1+r+2x^2}{1-r} \log \frac{x^2+1}{x^2+r} - 2 \quad (A-3)$$

ただし、 $x_1 \equiv \omega/r\omega_{p1,2}$  と定義する。(A-2) の  $\propto$  までは fig 2-1 を見よ。

(A-2)は、値の小さい順に 次のような極限がある。

a)  $\gamma \ll \omega/\omega_{p_1}$  ( $1 \ll \chi_1$ ) の場合

$$\frac{dE_o}{dw} = \frac{\alpha}{6\pi} \left( \frac{\gamma \omega_{p_1}}{\omega} \right)^4 \quad (A-4a)$$

b)  $\omega/\omega_{p_1} \ll \gamma \ll \omega/\omega_{p_2}$  ( $\chi_1 \ll 1 \ll \chi_2$ ) の場合

$$\frac{dE_o}{dw} = \frac{2\alpha}{\pi} \left( \log \frac{\gamma \omega_{p_1}}{\omega} - 1 \right) \quad (A-4b)$$

c)  $\omega/\omega_{p_2} \ll \gamma$  ( $\chi_2 \ll 1$ ) の場合

$$\frac{dE_o}{dw} = \frac{2\alpha}{\pi} \left( \log \frac{\omega_{p_1}}{\omega_{p_2}} - 1 \right) \quad (A-4c)$$

充分な量の TR 光子を得るためには b) の条件は満たす必要があり、c) の場合のように TR が飽和する領域を考慮に入れて TRD をデザインしなくてはならない。

(A-2) から TR 光子の平均角振動数を求めるとき  $r \ll 1$  のとき。

$$\bar{\omega} = \frac{3}{4\pi} \omega_{p_1} r \quad (A-5)$$

また、radiator で発生した TR 光子のうち 角振動数の大きいものは検出される以前に吸収されてしまう。角振動数  $\omega_0$  以上の TR 光子が検出されるとすると、 $\chi_0 = \omega_0 / \gamma \omega_{p_1} \ll 1$  ;  $r \ll 1$  とするととき、検出される光子の全エネルギー  $E_o(\omega > \omega_0)$  及び総数  $N_o(\omega > \omega_0)$  は、

$$E_o(\omega > \omega_0) = \int_{\omega_0}^{\infty} \frac{dE_o}{dw} dw$$

$$= \frac{2}{\pi} \wp_1 \left( \frac{2}{3} \tan^{-1} \frac{1}{x_0} - x_0 \left( \frac{2}{3} x_0^2 + 1 \right) \right)$$

$$\times \log \left( 1 + \frac{1}{x_0^2} \right) + \frac{2}{3} x_0 \quad (A-6)$$

$$N(\omega > \omega_0) = \int_{\omega_0}^{\infty} \frac{1}{\omega} \frac{dE_0}{dw} dw$$

$$= \frac{\alpha}{\pi} \left( 1 - (x_0^2 + 1) \log \left( 1 + \frac{1}{x_0^2} \right) - \frac{1}{2} f \left( 1 + \frac{1}{x_0^2} \right) \right)$$

$$f(z) = - \int_{1-z}^z \frac{\log t}{t-1} dt \quad (A-7)$$

(A-6), (A-7) のふるまいは fig. 2-2, 2-3 を見よ。

## B. 1層の媒質がある場合

ここでは 媒質2で満たされた空間に、粒子の通過方向に測った厚さが  $l_1$  の媒質1がある場合を考える。この場合には 媒質2から1への境界と 媒質1から2への境界で発生する輻射を、位相差と減衰を考慮して重ね合わせればよい。媒質1の吸収係数を  $\mu_1$  とする

と、(A-1) の  $d^2E_0/dwd\Omega$  の代わりに、

$$\frac{d^2E_1}{dwd\Omega} = \frac{d^2E_0}{dwd\Omega} \times (1 + e^{-\mu_1 l_1} - 2e^{-\mu_1 l_1/2} \cos Z_{1(\theta)})$$

ここで、  
(B-1)

$$Z_{1,2}(\theta) = \frac{2}{\omega} \left( \theta^2 + r^2 + \frac{\omega_{p1,2}^2}{\omega^2} \right)^{-1} \quad (B-2)$$

$Z_{1,2}$  を formation zone また  $l_1 < Z_{1,2}(\theta)$  のとき  
(iii)

光子の発生は強く抑えられる。これを formation zone 効果という。

上 = 0 の下で (B-1) の角度積分を実行すると、

$$\tau = \omega_p l_1 / 2r, \quad x_1 = \omega / r \omega_p, \quad \text{を用いて}$$

$$\frac{dE_1}{dw} = \frac{\alpha}{\pi} \left( (1 + e^{-\mu_1 l_1}) F(x_1, 0) + 2e^{-\mu_1 l_1 / 2} H(x_1, \tau) \right)$$

(B-3)

ここで  $F(x, r)$  は (A-3) で定義したもの。また、  
 $H(x, \tau)$  は次のように定義する。

$$H(x, \tau) = -(2x^2 + 1) \left( C_i(\tau(x + \frac{1}{x})) - \cos(\tau x) C_i(\frac{\tau}{x}) \right. \\ \left. + \sin(\frac{\tau}{x}) S_i(\tau x) \right) + 2 \cos(\tau(x + \frac{1}{x})) \\ + \tau(x + \frac{1}{x}) S_i(\tau(x + \frac{1}{x})) + \tau x \cos \frac{\tau}{x} S_i(\tau x) \\ + \tau x \sin(\frac{\tau}{x}) C_i(\tau x) \quad (B-4)$$

$\Gamma = 1/\tau, \quad v = x/\tau$  を用いて、 $G \equiv F + H$  の  
 小るまいを fig. 2-4 に示した。これは 媒質 1 での  
 減衰を無視した場合 ( $\mu_1 l_1 \ll 1$ ) の (B-3) の  
 小るまいをあらわす。また、 $l_1 \rightarrow \infty$  の極限では  
 (B-1), (B-3) は  $dE_1/dwd\Omega \rightarrow dE_0/dwd\Omega$ ,  
 $dE_1/dw \rightarrow dE_0/dw$  となり、1 層の境界面の場合に近づく。

1 層の境界面の場合、(A-4b) のように、 $dE_0/dw$   
 は  $\omega < r\omega_p$  のとき充分大きな値をとる。1 層の媒  
 質の場合にはそれに加えて formation zone 効果  
 もあるので。

$$\omega < \min(R\omega_{p_1}, l_1\omega_{p_1}^2/2) \quad (B-5)$$

を満たす場合に  $dE_1/d\omega$  は充分大きな値となる。

### C. 多層の媒質がある場合

厚さ  $l_1$  の媒質 1 が 厚さ  $l_2$  の媒質 2 をはさんで 周期的に N 層ある場合を考える。この場合には、1 層毎の輻射場を 位相差と減衰を考慮して重ね合わせればよい。各媒質の吸収係数を  $\mu_1, \mu_2$  とし、 $\sigma = \mu_1 l_1 + \mu_2 l_2$  と定義する。また、各媒質に対して、位相のずれ

$$\phi_{1,2} = \frac{\omega l_{1,2}}{2} \left( \theta^2 + \frac{1}{f^2} + \frac{\omega_{p_{1,2}}^2}{\omega^2} \right) \quad (C-1)$$

を定義すると、(B-1) の代わりに

$$\frac{d^2 E_N}{d\omega d\Omega} = \frac{d^2 E_1}{d\omega d\Omega} I^{(N)}(\sigma, \phi_1 + \phi_2) \quad (C-2)$$

とかける。ただし、

$$\begin{aligned} I^{(N)}(\sigma, \phi_1 + \phi_2) &= \left| \sum_{n=1}^N \exp\left(-in(\phi_1 + \phi_2) - \frac{n}{2}\sigma\right) \right|^2 \\ &= \frac{1 + e^{-N\sigma} - 2e^{-N\sigma/2} \cos N(\phi_1 + \phi_2)}{1 + e^{-\sigma} - 2e^{-\sigma/2} \cos(\phi_1 + \phi_2)} \end{aligned} \quad (C-3)$$

である。

(C-3)において、 $l_2$  が小さく  $\phi_2 \ll \phi_1$  かつ  $\mu_2 l_2 \ll \mu_1 l_1$  の極限では、(C-2) は (B-1) において  $l_1$  を  $Nl_1$  で置きかえたものになり、厚さ  $Nl_1$  の 1 層の媒質とみなせる。また、 $l_1$  も  $l_2$  も充分小さく、 $\phi_1 < 1, \phi_2 < 1, \mu_1 l_1 < 1, \mu_2 l_2 < 1$  をみたす

場合には、(C-2) は 厚さ  $N(l_1 + l_2)$ 、プラズマ振動数  $\sqrt{(l_1 \omega_{p1}^2 + l_2 \omega_{p2}^2)/(l_1 + l_2)}$  の 1 層の場合と等価になる。

$N$  層からの輻射は 干渉によって  $\phi_1 + \phi_2 = 2\pi R$  (長は整数) となる角度  $\theta_R$  で鋭く強めあう。

特に  $1 \ll N$ ,  $\sigma \ll 1$  のときには (C-3) は

$$I^{(N)}(\sigma, \phi_1 + \phi_2) \simeq 2\pi N_{eff} \sum_k \delta(\phi_1 + \phi_2 - 2\pi k) \quad (C-4)$$

ただし、  

$$N_{eff} = \frac{1 - e^{-N\sigma}}{1 - e^{-\sigma}}$$

(C-5)

と近似できる。 $N_{eff}$  は  $N\sigma \rightarrow 0$  の極限で層の数  $N$  に近づくパラメタで、(C-3) のうち層の数の寄与は  $N_{eff}$  に、干渉の寄与は デルタ関数に集約されている。この近似を使って (C-2) の角度積分を実行すると

$$\frac{dE_N}{dw} = 4\pi^2 N_{eff} \sum_{k: 整数} \frac{dE_1}{dw}(\theta_R) \quad (C-6)$$

ただし、

$$\theta_R^2 = \frac{4\pi R - \omega l_1 (\gamma^2 + \omega_{p1}^2/w^2) - \omega l_2 (\gamma^2 + \omega_{p2}^2/w^2)}{\omega(l_1 + l_2)} \quad (C-7)$$

である。

ファイバーを使いた radiator のように不規則な厚さの媒質が不規則な间隔で並んでいる場合には  $N$  層の干渉は考えず、1 層の場合の (B-3) を  $N_{eff}$  すればよい。

References

1. V.L.Ginzburg and I.M.Frank, Z.Eksper, Theo.Fiz.16(1946)15
2. J.E.Bateman, The application of X-ray transition radiation to charged particle in 300 GeV/c region, N.I.M.103(1972)565
3. Luke. C.L.Yuan et al., Formation-zone effect in transition radiation due to ultrarelativistic particles, Phys.Rev.Lett. 25(1970)1513
4. J.Cobb,C.W.Fabjan et al., Transition radiation for electron identification at the CERN ISR, N.I.M.140(1977)413
5. C.W.Fabjan and W.Struczinski, Coherent emmition of transition radiation in periodic radiators, Phys.Rev.Lett. 57B(1975)483
6. J.Fischer,S.Iwata et al., Lithium transition radiation and Xenon detector system for particle identification at high energys, N.I.M. 127(1975)525
7. L.Cherry et al., Transition radiation from relativistic electrons in periodic radiators, Phys.Rev. D10(1974)525

8. T.Ludlum et al., Particle identification by electron cluster detection o  
f transition radiation photons, N.I.M. 180(1981)413

9. C.W.Fabjan et al., Practical prototype of a cluster- counting transition  
radiation detector, N.I.M.185(1981)119

10.L.G.Cristophorou, D.L.McCorkle and A.A.Cristodoulides, Atomic and molecu  
lar radiation Physics, Wiley, New York 1971

11.F.Sauli, Principle of operation of multiwire proportional and drift cham  
ber, CERN(1977)

12.Loyal Durand, Transition radiation from ultrarelativistic particles, Phy  
s.Rev. D11(1975)89

13.X.Artru et al., Practical theory of the multiwire transition radiation d  
etector, Phys.Rev. D12(1975)1289

14.G.M.Garibyan, Transition radiation effect in particle energy loss, Sovie  
t Phys. JETP 33(1971)23, JETP 10(1960)372

figures

fig.1-1a  $t \rightarrow b, b \rightarrow c, c \rightarrow s$  というカスケード・ディケイの際に出  
る電子の運動量の分布

b  $t \rightarrow s$  と直接崩壊する際の電子の運動量

fig.1-2 VENUS バレル・カロリメーターの  $\pi/e$   
rejection factor

fig.1-3 VENUS断面図

fig.2-1 1層の境界面による transition radiation のエネルギー  
分布

fig.2-2  $\omega_0$  よりも高いエネルギーをもつ 1層の境界面による transition radiation 光子の総エネルギー

fig.2-3  $\omega_0$  よりも高いエネルギーを持つ 1層の境界面による transition radiation 光子の総数

fig.2-4 (式2-8) にあらわされた関数  $G(\nu, \Gamma)$   
1層の媒質による干渉効果をあらわす

fig.2-5 多層の媒質の場合にあらわれるパラメタ  $N_{eff}$

a X線の吸収率による変化

b radiator全体の密度を保ってファイバー直径を変えた場合の  
変化

fig.2-6 物質が光子を吸収する機構と吸収係数の 光子のエネルギー  
に対する変化

fig.2-7 いくつかのradiatorの素材の性質の比較

fig.3-1 テスト・チャンバーの外観

fig.4-1 ビームテストのためのセット・アップ

fig.5-1 ビーム・ドリフト・チャンバーによるトラッキングの残差の  
分布

fig.5-2 鉛ガラス・カロリメーターのパルスハイト分布

入射ビームの運動量は、 a.  $1 \text{ GeV}/c$ , b.

$2 \text{ GeV}/c$ , c.  $3 \text{ GeV}/c$  である

fig.5-3 MWDC上の粒子の通過点の分布

fig.5-4 粒子の通過点に対するMWDCのゲインの依存性

fig.5-5  $2 \text{ GeV}/c$  の  $\pi$  中間子と電子の電離損失のスペクトル

fig.5-6  $2 \text{ GeV}/c$  の  $\pi$  中間子と電子の transition  
radiation を含めたエネルギー損失のスペクトル

fig.5-7 fig.5-6 に含まれるイベントについて、

truncated mean をとった後のスペクトル

fig.5-8 fig.5-6 に含まれるイベントについて、

likelihood method により計算した 入射粒子が電子である確率の分布

fig.5-9 スペクトルの幅の 粒子の通過位置に対する依存性

fig.5-10  $\pi$  中間子の contamination の 粒子の通過位置に対する依存性

fig.5-11 MWDCの等電位面。シャシ、ポテンシャルワイヤは  
接地、センス・ワイヤには +2.05 KVを印加した

fig.5-12 磁場によるゲインの変化

fig.5-13 磁場によるMWDCの力線の変化

fig.5-14 MWDC内の酸素濃度の時間変化。図中の曲線は

$$c = c_0 + A \exp(-B t)$$

$$c_0 = 11.75 \text{ ppm}, A = 23860 \text{ ppm}, B = 0.707 \text{ min}^{-1}$$

fig.5-15 MWDCのゲインの酸素濃度依存性

fig.5-16 ゲインの酸素濃度依存性を 粒子の通過位置別にみたもの

fig.5-17 MWDCのゲインの酸素濃度による変化を 粒子の通過位置

別に低濃度時のゲインで規格化したもの

fig.5-18 a 酸素中での電子の吸着係数の 電子のエネルギーによる変化

b 空気中での電子の吸着係数の 換算電場による変化

fig.5-19 光子を伴なった電子と  $\pi$  中間子のエネルギー損失スペクトル

運動量は a.  $1 \text{ GeV}/c$ , b.  $2 \text{ GeV}$

/c, c.  $3 \text{ GeV}/c$

fig.5-20 電子と  $\pi$  中間子の電離損失 及び 光子を伴った電子のエ

ネルギー損失の 運動量による変化

fig.5-21 電子の収率90%のときの  $\pi$  中間子のcontaminationの運動

量による変化

fig.5-22 密度と隔壁を同一にしたときの各種radiatorを通過した後の

電子のエネルギー損失スペクトル

fig.5-23 fig.5-22 に対応した各種radiatorを使ったときの

$\pi$  中間子のcontamination

fig.5-24 隔壁の種類とファイバーの太さを一定に保ち radiator全体

の密度を変化させたときの電子のエネルギー損失スペクトル

fig.5-25 fig.5-24 に対応した各種radiatorを使ったときのπ中間

子の contamination

fig.5-26 隔壁を置かないとき 及び CFRPまたはCFRTPの隔

壁を置いたときの contamination への影響

fig.5-27 光子を伴った電子のエネルギー損失スペクトルに隔壁が及ぼ

す影響を見る。隔壁はない場合とCFRP、CFRTPである

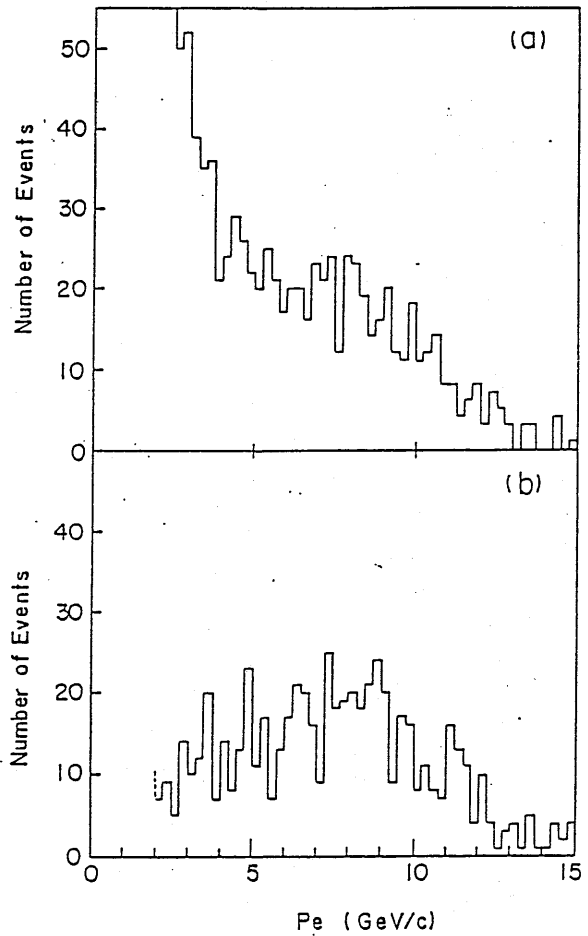


fig. 1-1

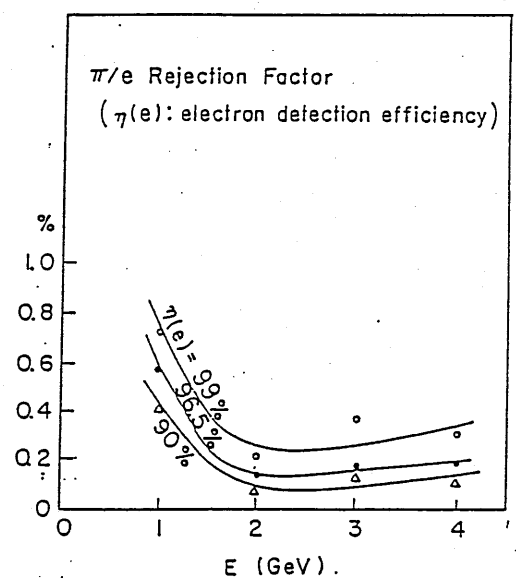


fig. 1-2

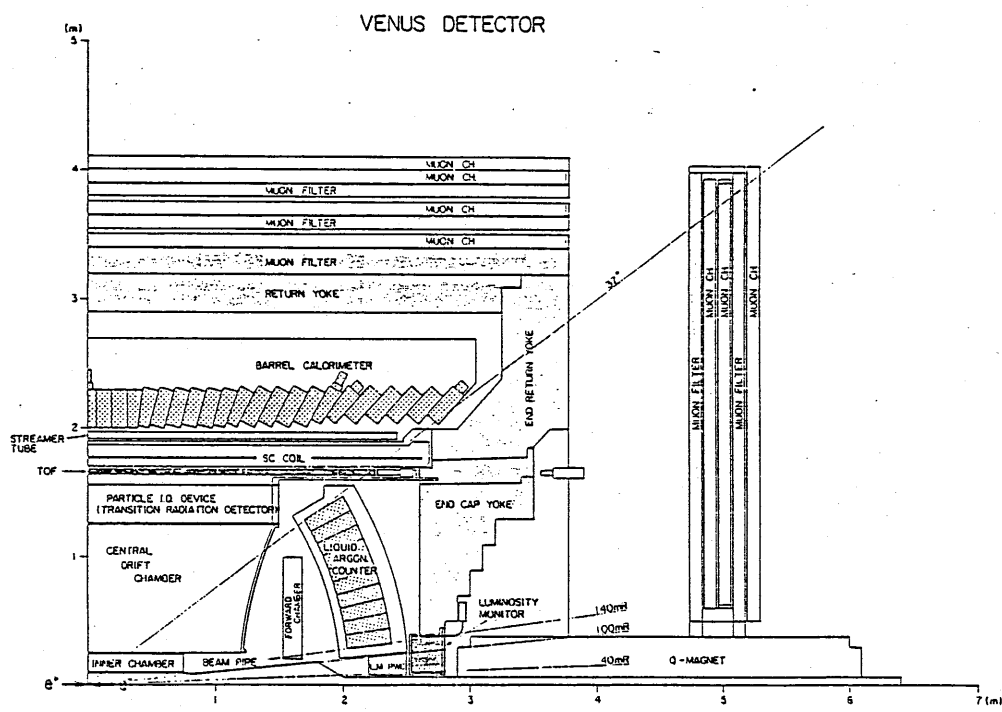


fig. 1-3

### Energy Distribution of TR-Photon

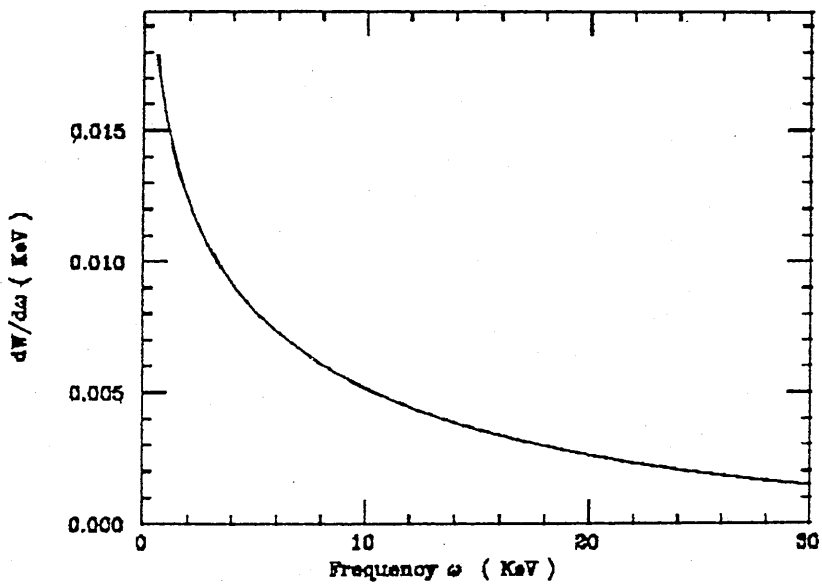
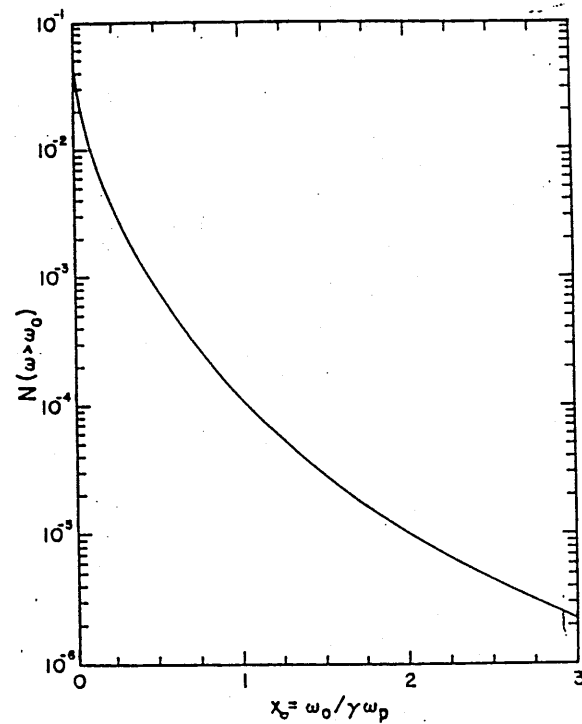
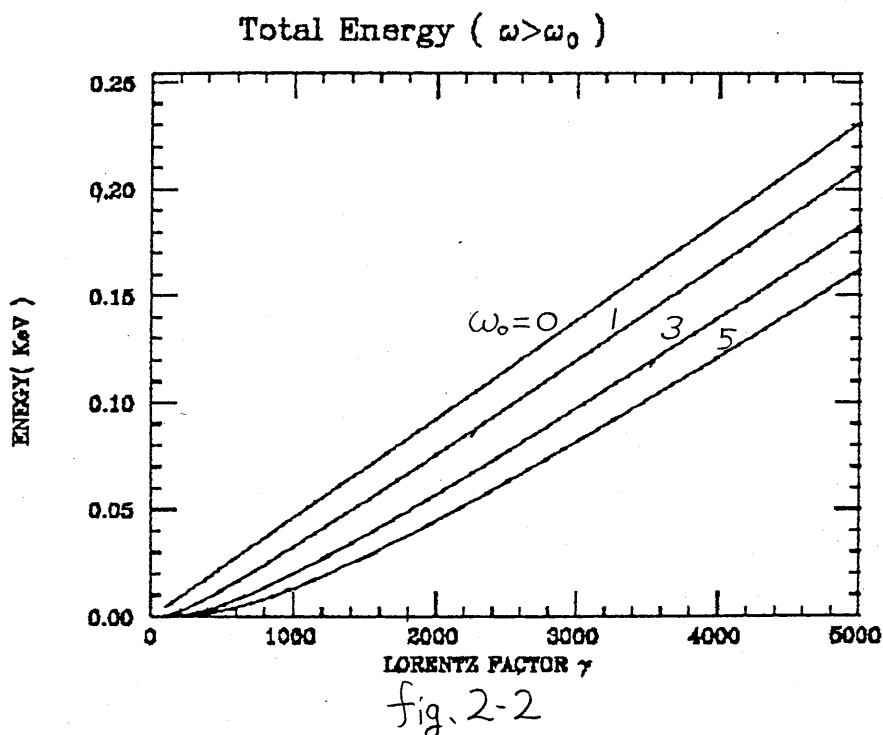


fig. 2-1



The number of photons radiated at frequencies  $\omega > \omega_0$  by a single particle traversing a thick dielectric slab as a function of  $x_0 = \omega_0 / \gamma \omega_p$ .

fig. 2-3

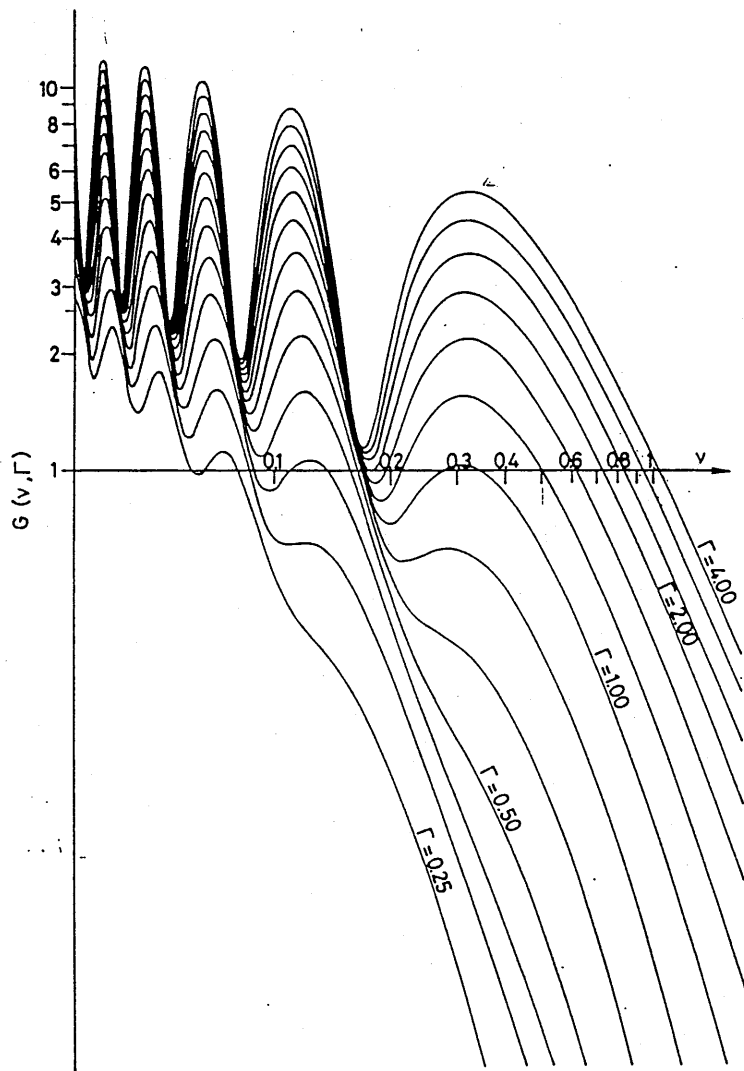


FIG. 5. The universal function  $G(v, \Gamma)$  which gives the single-foil yield. Logarithmic scales. The  $\Gamma$ 's are in a geometrical progression of ratio  $2^{1/3}$ .

fig. 2-4

Effective Number of Layer

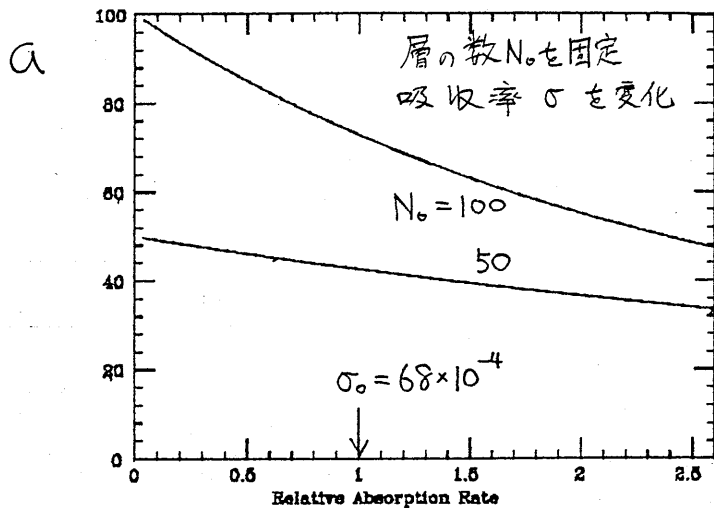
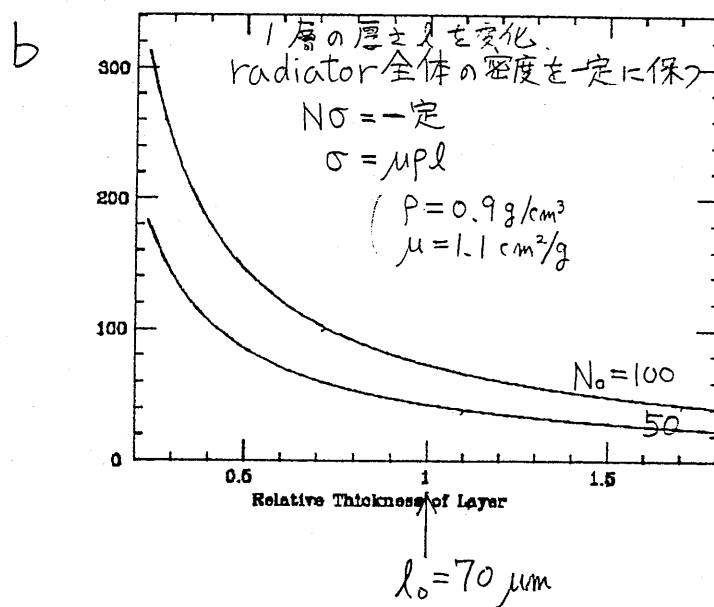
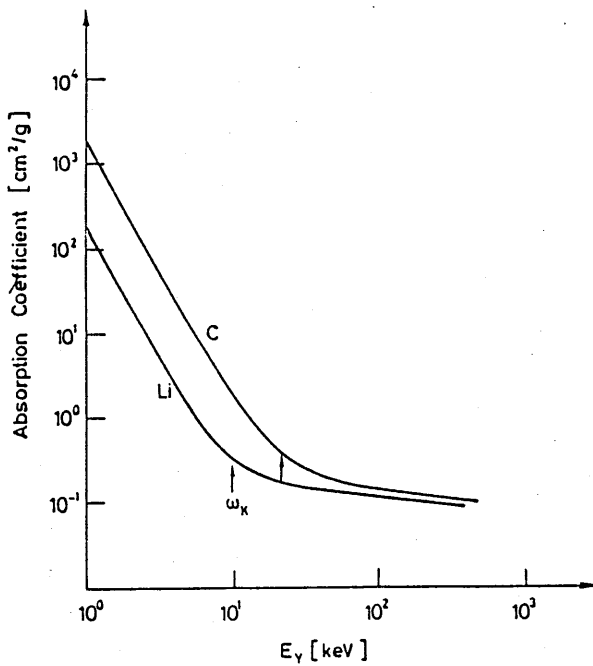


fig. 2-5

Effective Number of Layer





Absorption cross-section for X-rays as a function of energy for two different materials.

fig. 2-6

Relevant properties of possible radiator materials.

Material	Density, $\rho$ (g/cm³)	$\omega_p$ (eV)	$\omega_K$ (keV)	Natural threshold $\gamma_1$
H <sub>2</sub>	0.07	7.86	2.8	1070
LiH	0.82	19.1	8.9	1400
Be	1.85	26.9	13.6	1520
Li	0.53	14.2	9.7	2050
B	2.37	31.1	17	1640
C (diamond)	3.52	39.4	21	1600
C (graphite fibres)	2.25	31.5	21	2000
B <sub>4</sub> C	2.52	32.3	19	1760
Al <sub>2</sub> O <sub>3</sub>	3.97	41.0	45	3300
Al <sub>2</sub> O <sub>3</sub> for photons below K-edge at:	1.5			110
CH <sub>2</sub>	0.9	18.6	19.3	2900

fig. 2-7

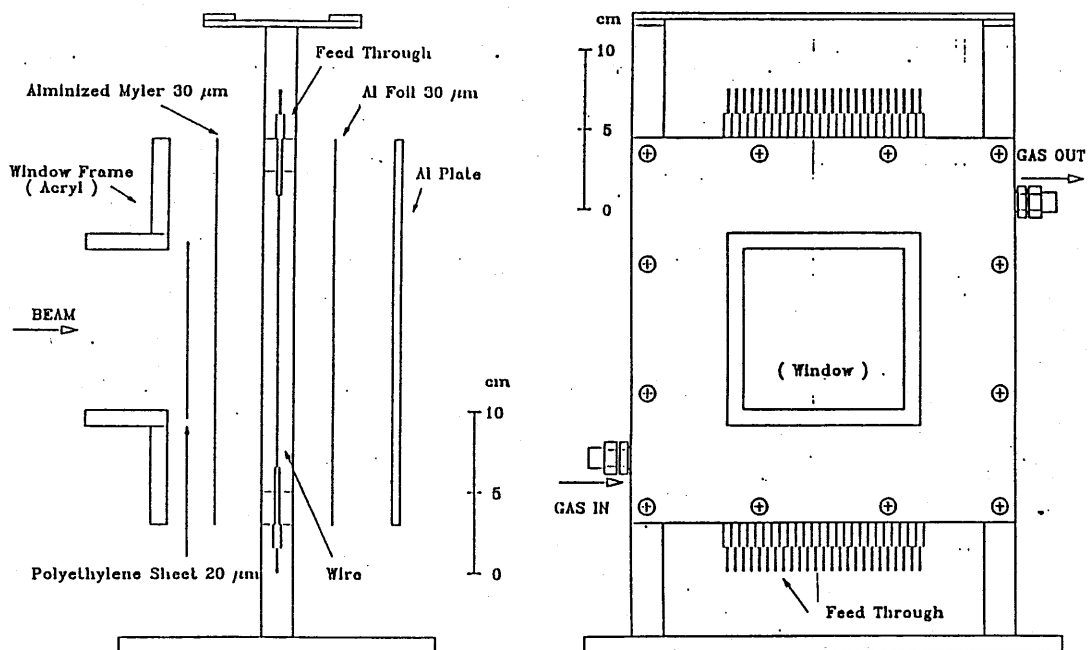
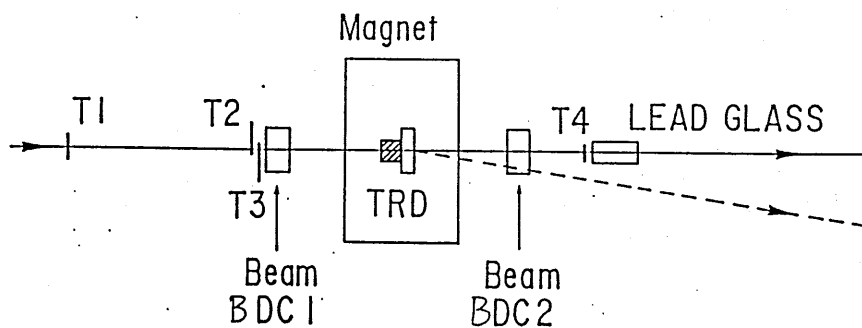


fig. 3-1



Beam Test Set Up

fig. 4-1

### Residual Value of Tracking

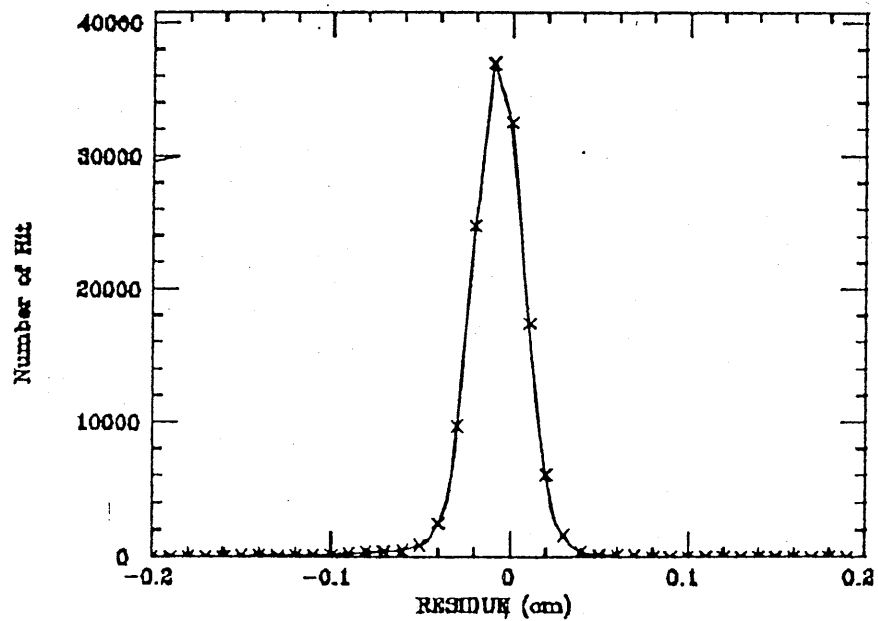
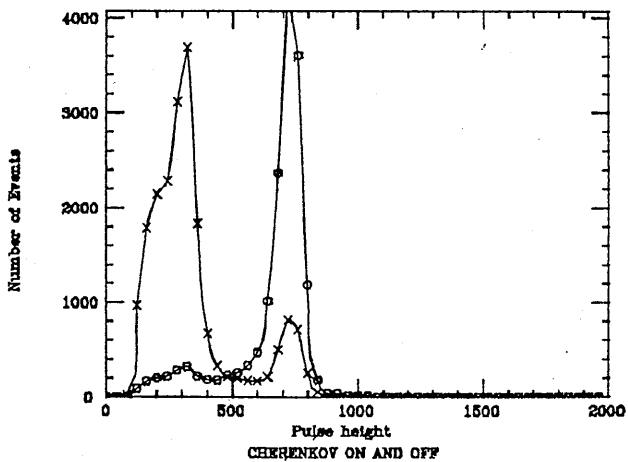
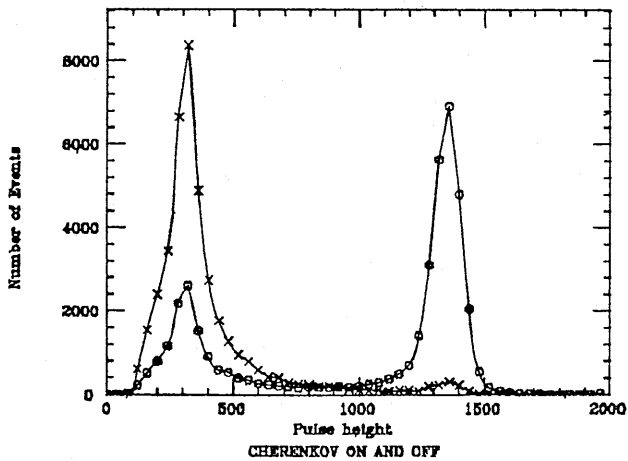


fig. 5-1

Pulse Height of Lead Glass at 1GeV/c



Pulse Height of Lead Glass at 2GeV/c



Pulse Height of Lead Glass at 3GeV/c

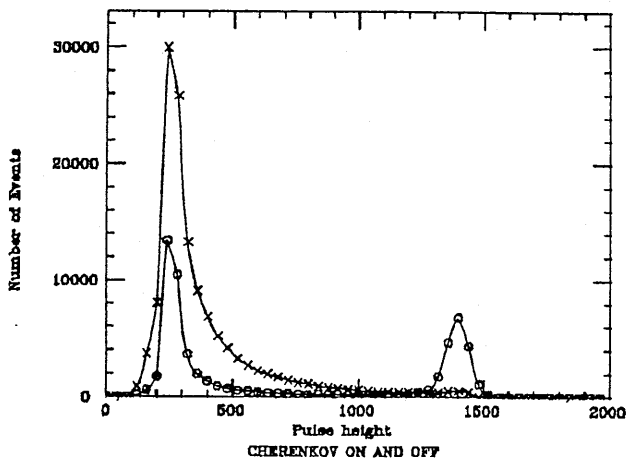


fig. 5-2

○ チェレンコフ on

× チェレンコフ off

### Beam Profile

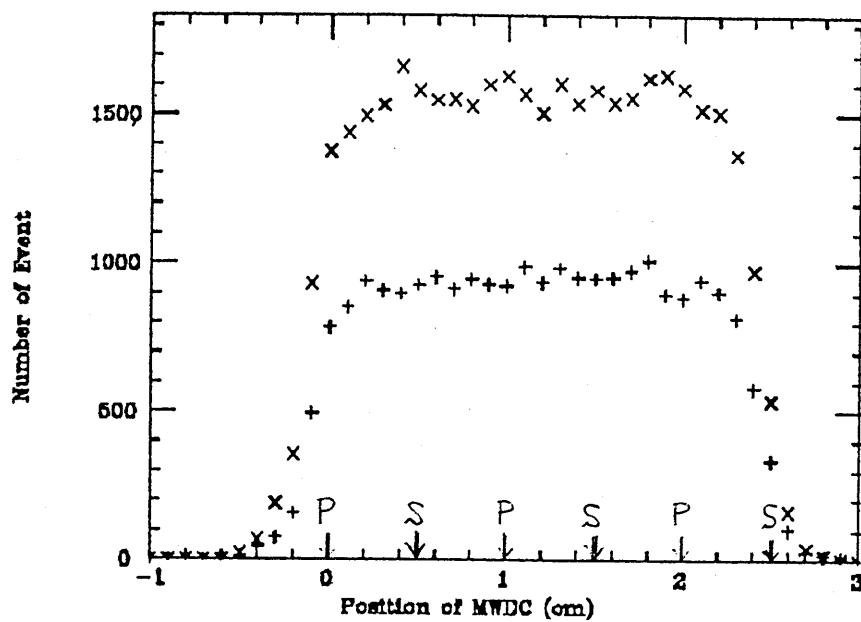


fig. 5-3  
P: potential wire  
S: sense wire

### Hit Position Dependence of Gain

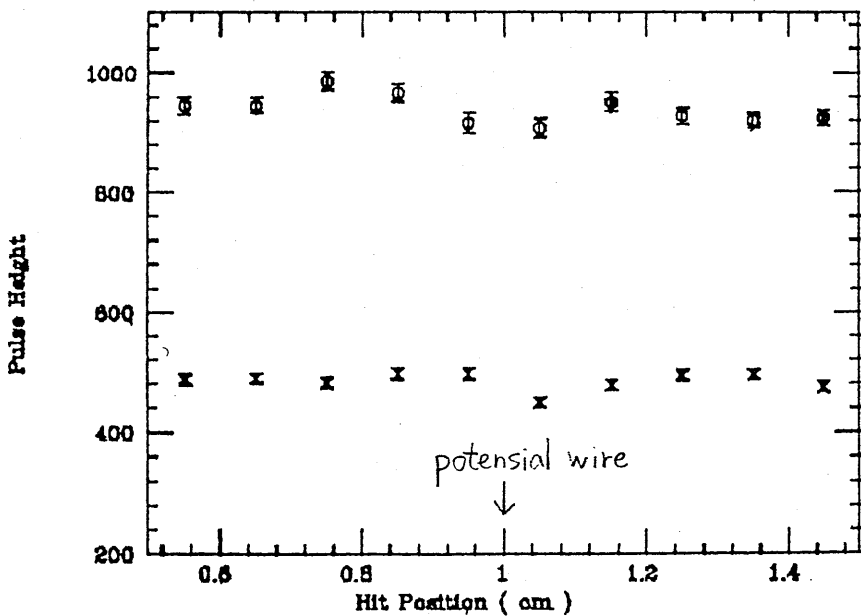


fig. 5-4

$dE/dX$  at 2GeV/c

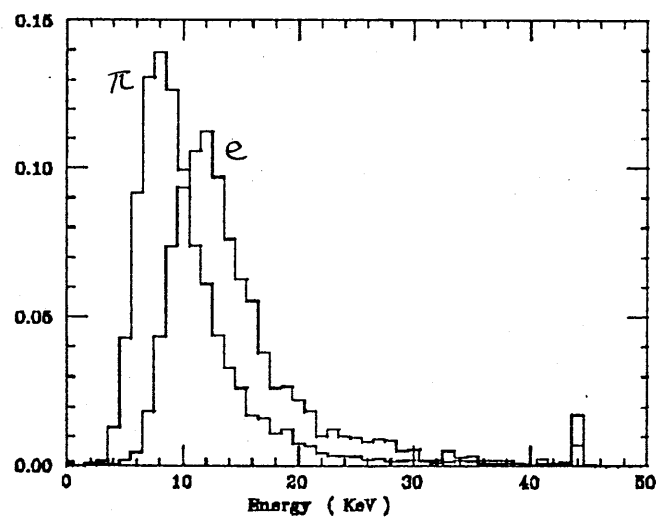


fig.5-5

$dE/dX + TR$  at 2GeV/c

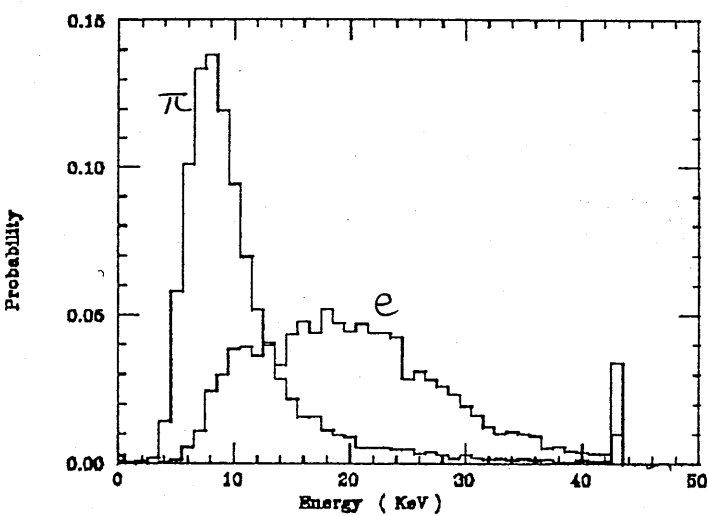


fig.5-6

Truncated Mean Energy Loss at 2GeV/c

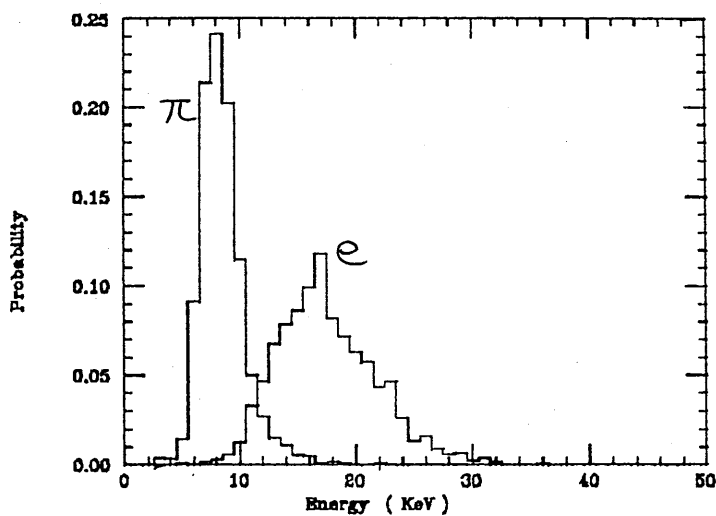


fig.5-7

### Probability of 2GeV/c PION

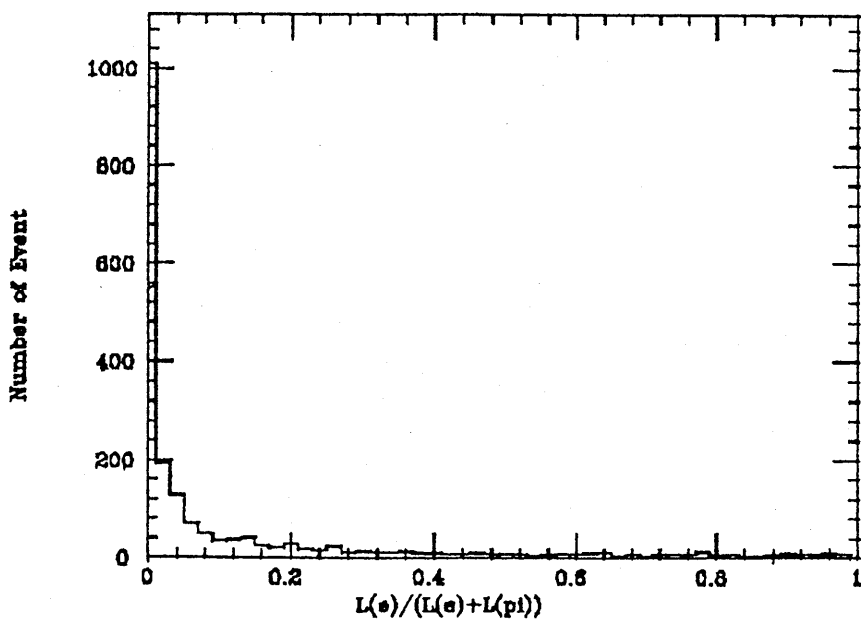


fig. 5-8 a

### Probability of 2GeV/c ELECTRON

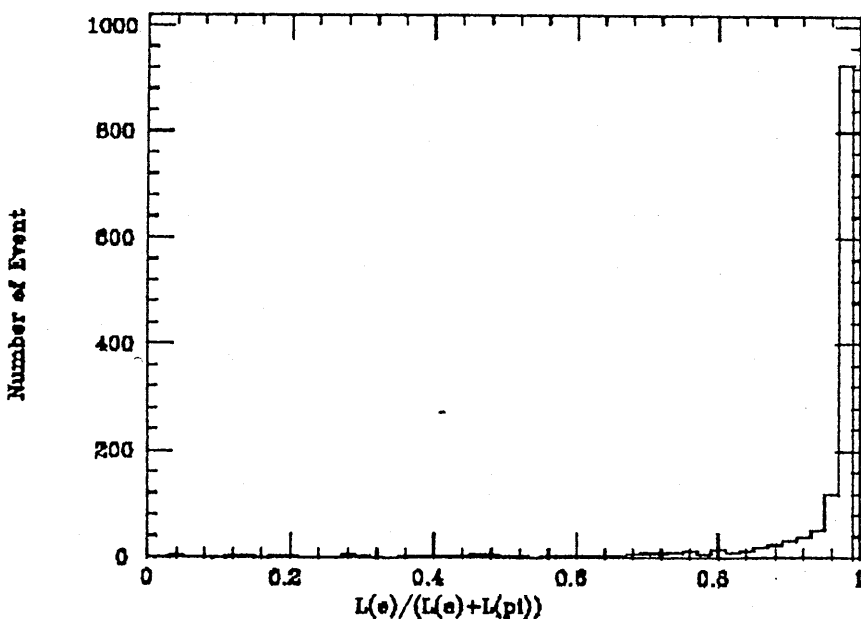


fig. 5-8 b

### Hit Position Dependence of Gain

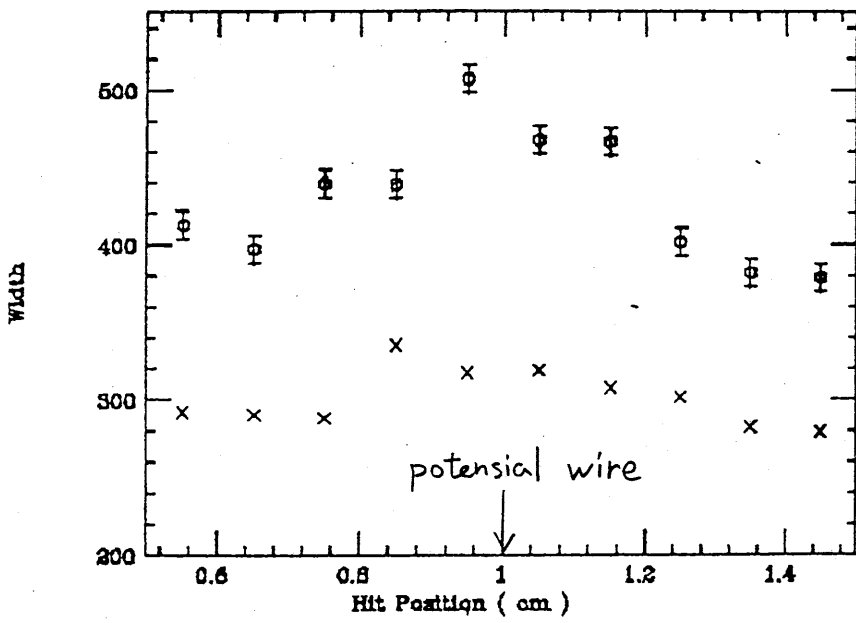


fig. 5-9

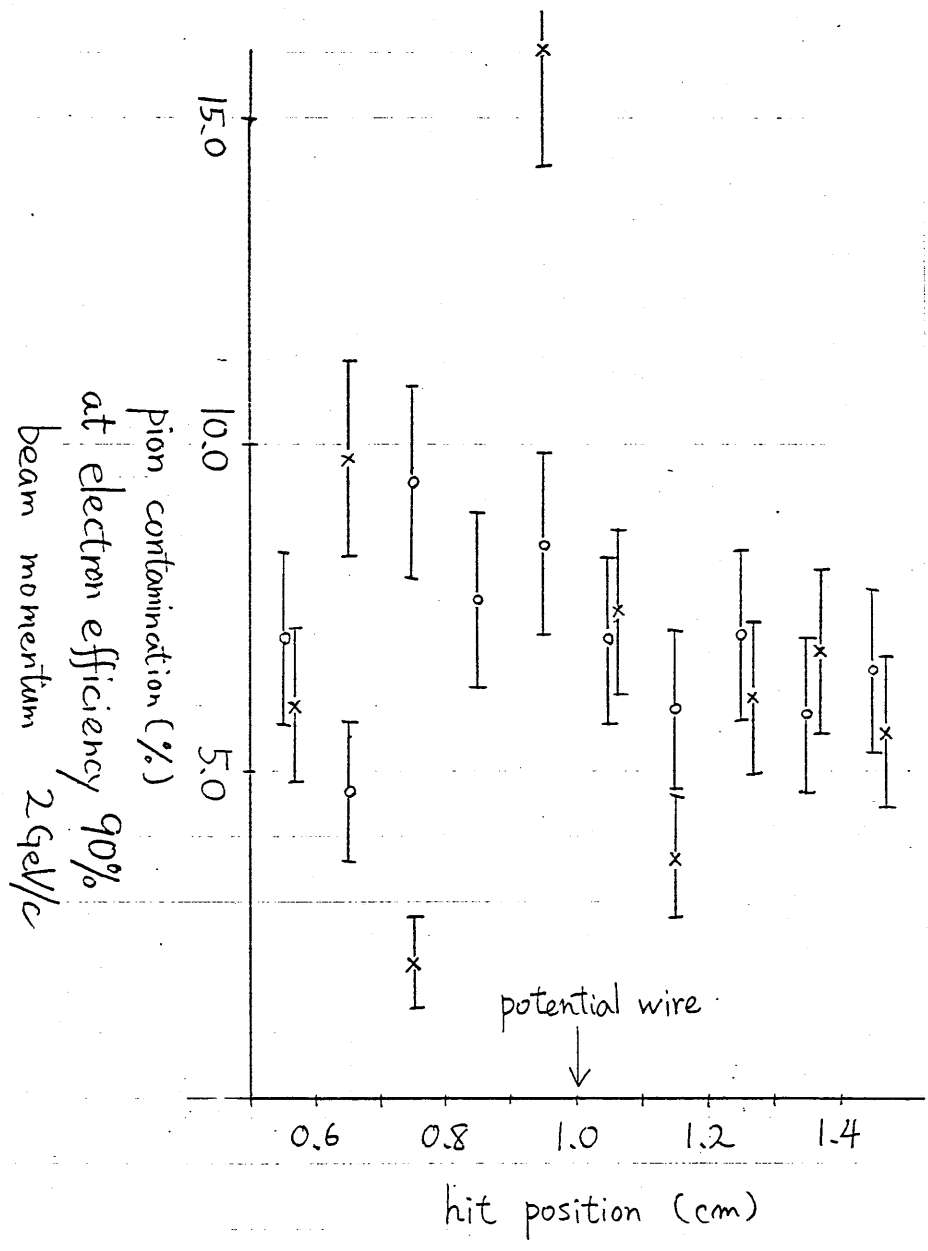
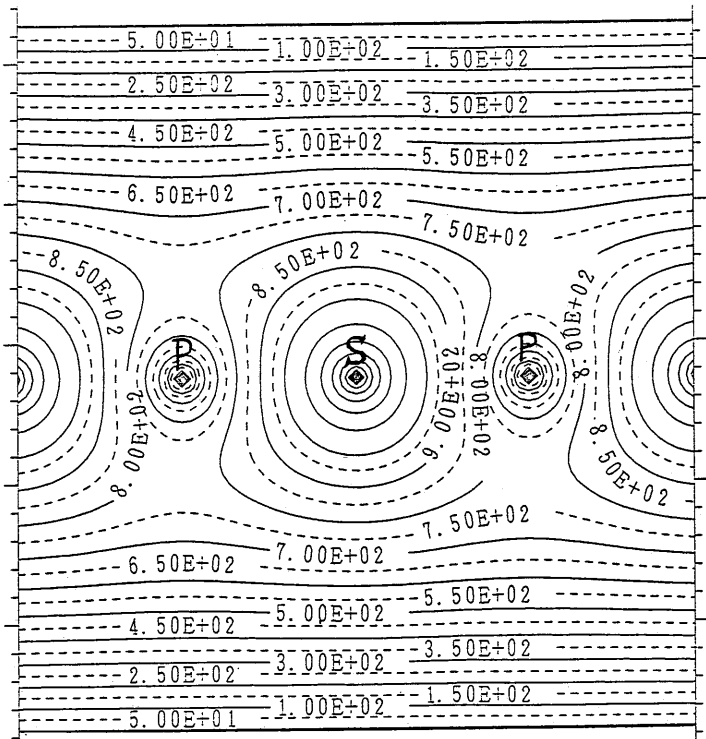
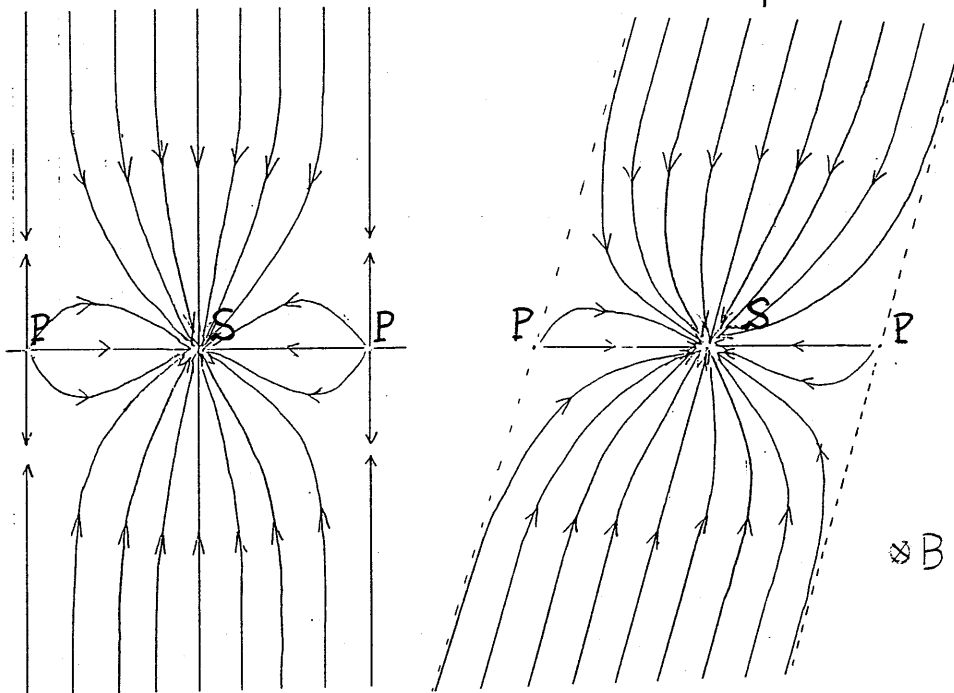


fig. 5-10



図中の数は電圧(V) fig. 5-11 ↑ 図中 S: sense wire  
↓ P: potential wire



磁場なし

fig. 5-12

磁場あり

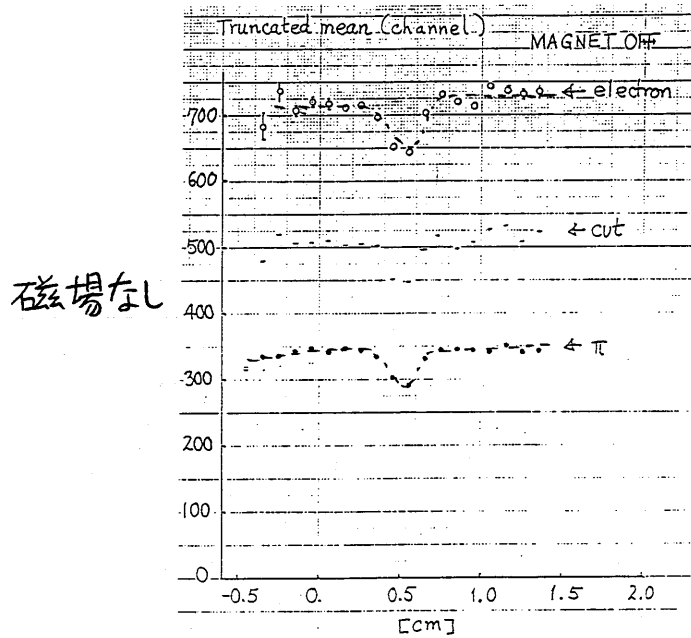
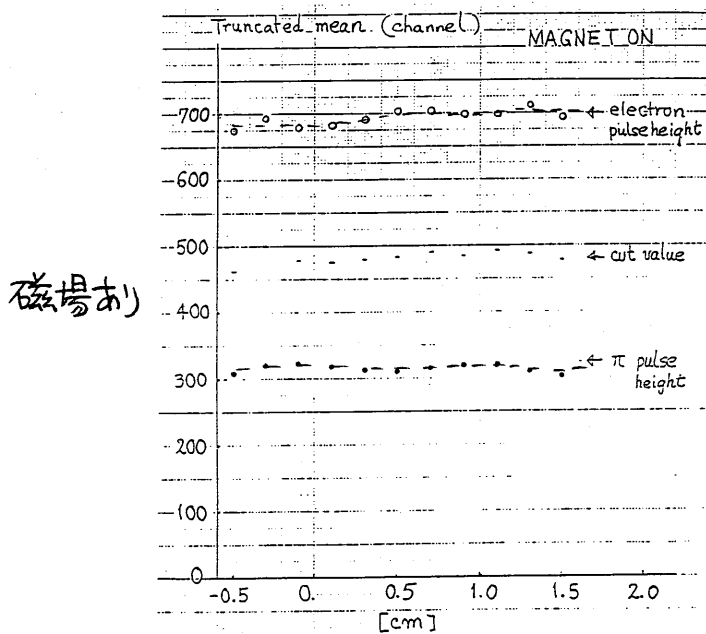


fig.5-13



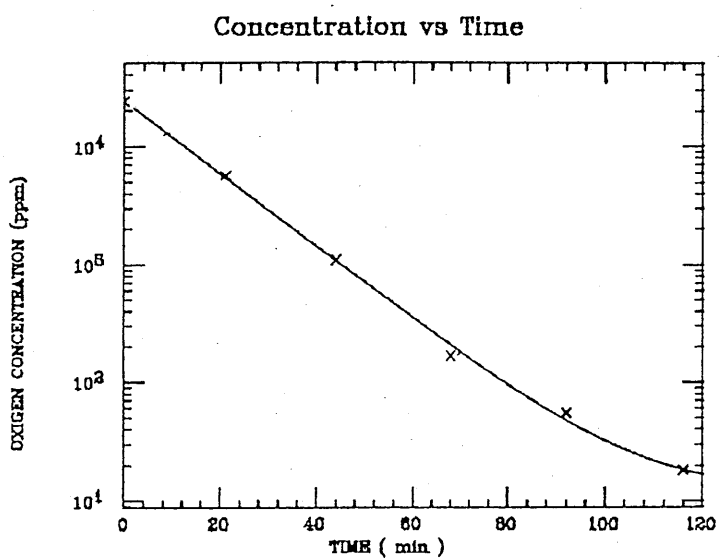


fig. 5-14

fig.5-15

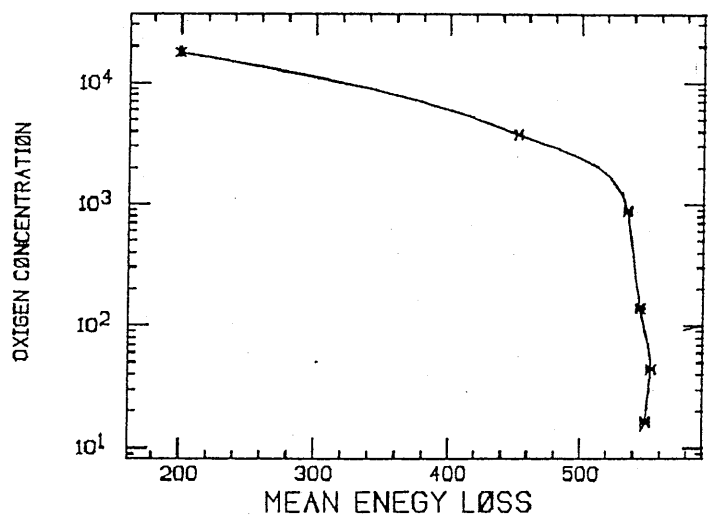


fig.5-16

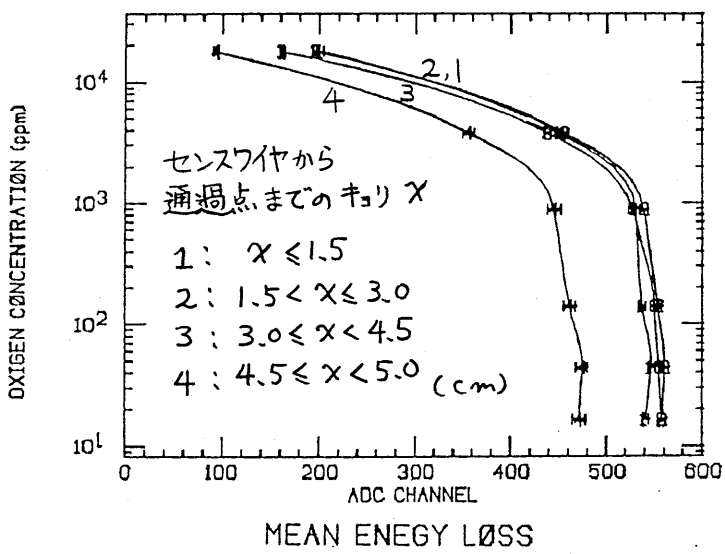
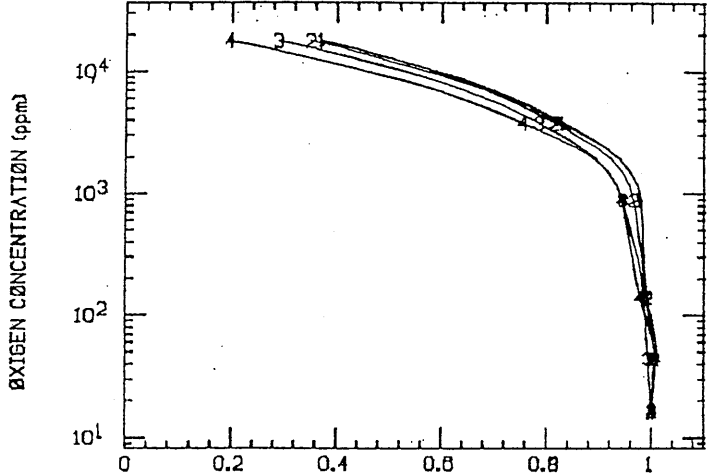
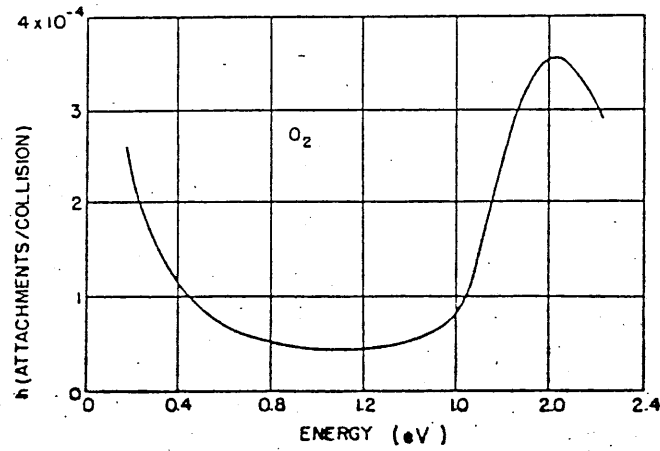


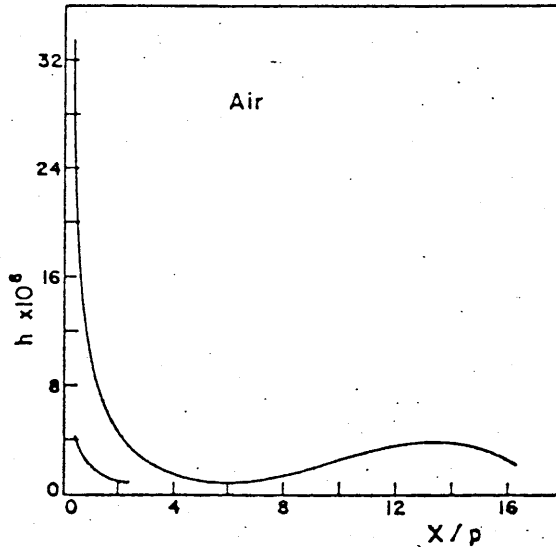
fig.5-17





Attachment coefficient for electrons in oxygen, as a function of electron energy<sup>21</sup>).

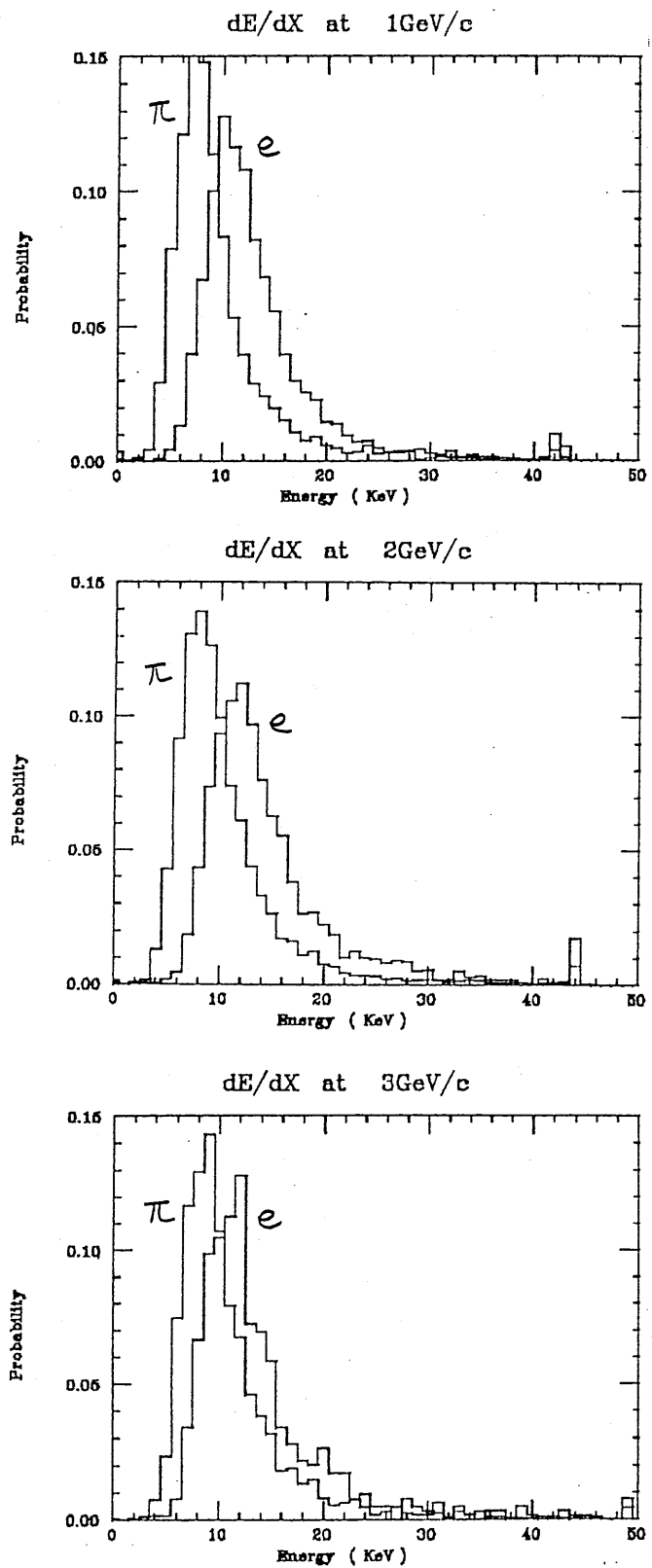
fig. 5-18 a



Attachment coefficient for electrons in air as a function of the reduced electric field<sup>22</sup>).

fig. 5-18 b

fig. 5-19 a



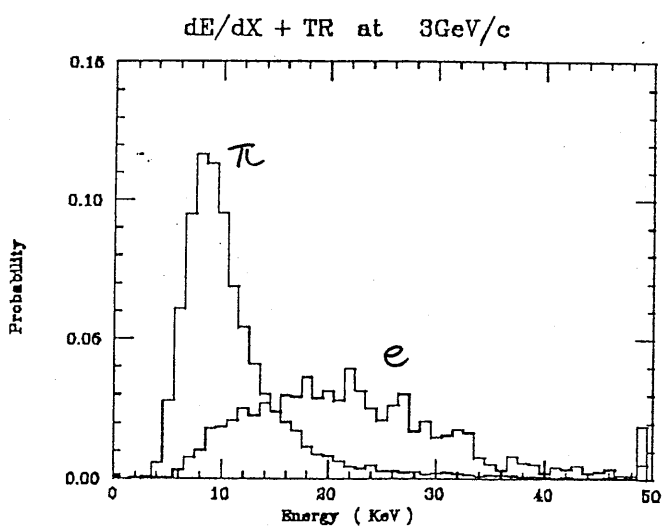
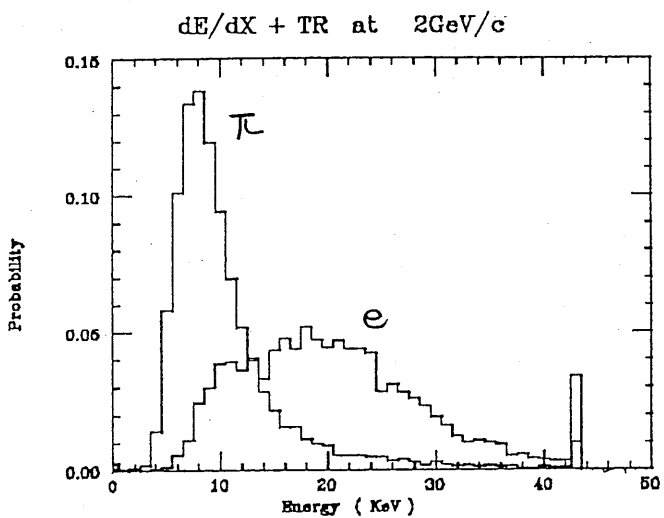
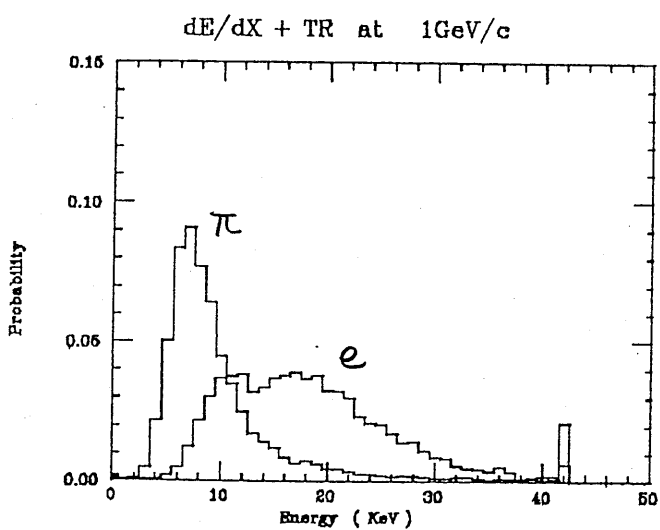
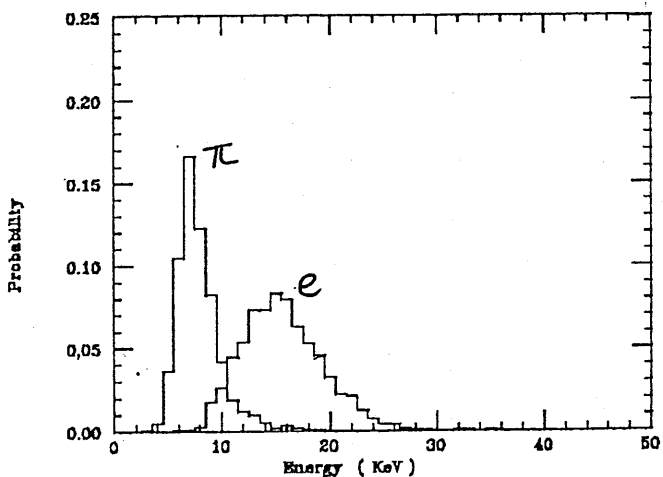
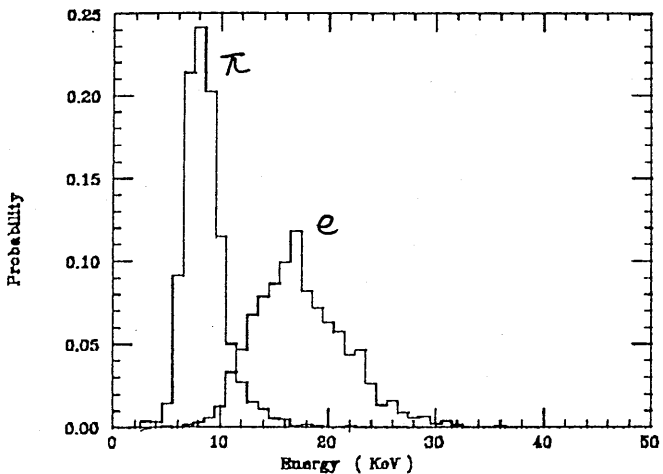


fig. 5-19 b

Truncated Mean Energy Loss at 1GeV/c



Truncated Mean Energy Loss at 2GeV/c



Truncated Mean Energy Loss at 3GeV/c

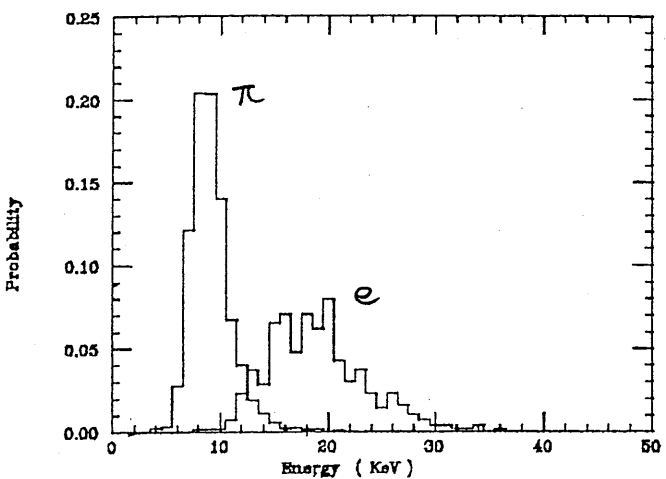


Fig. 5-19c

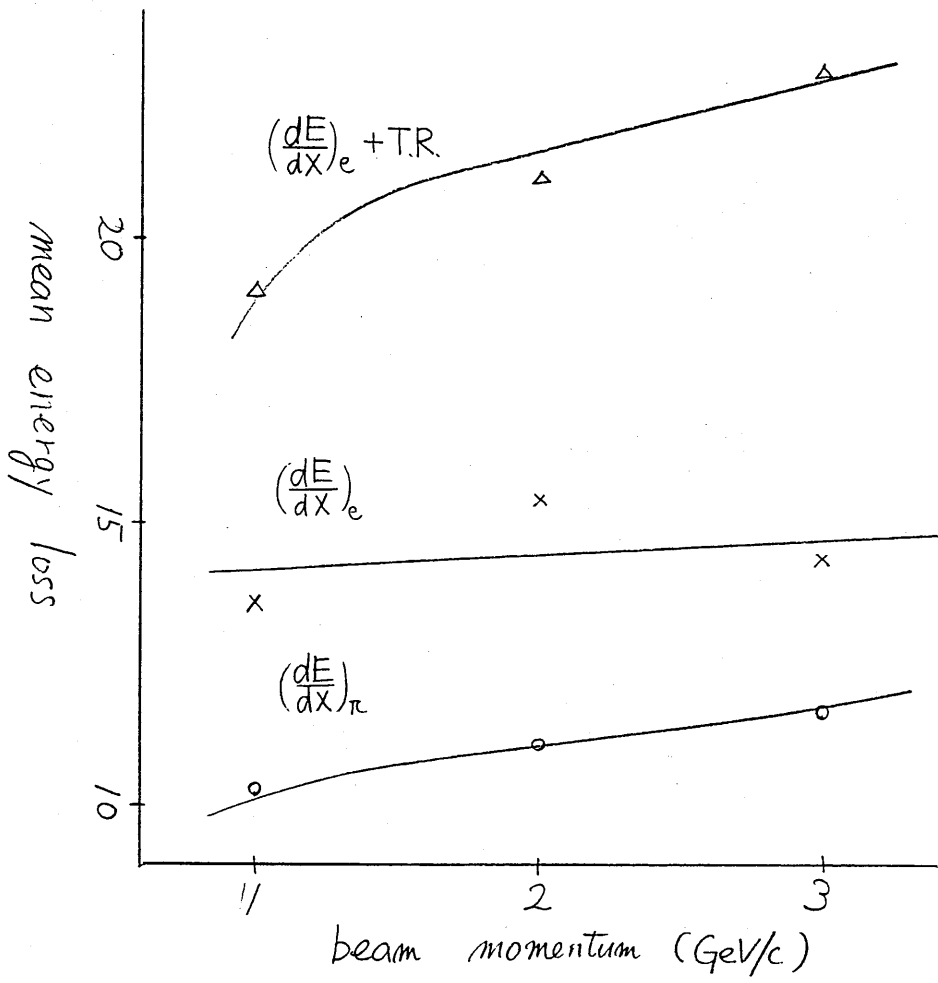


fig. 5-20

pion contamination (%)  
at electron efficiency 90%

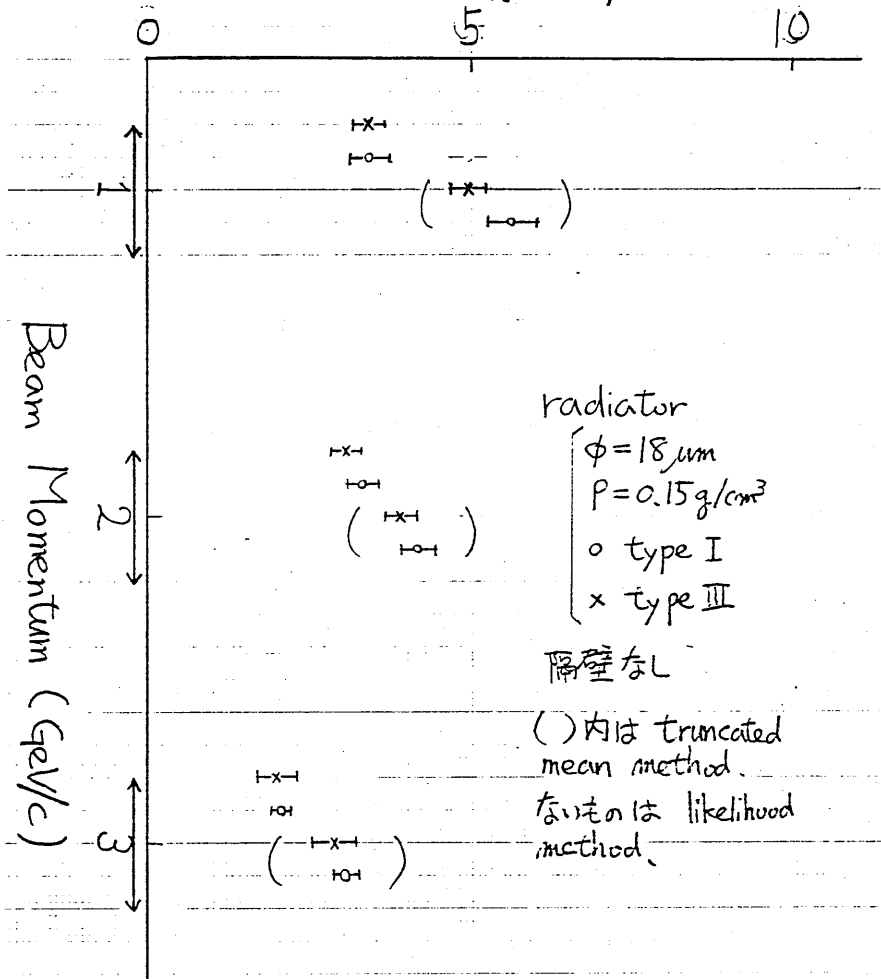
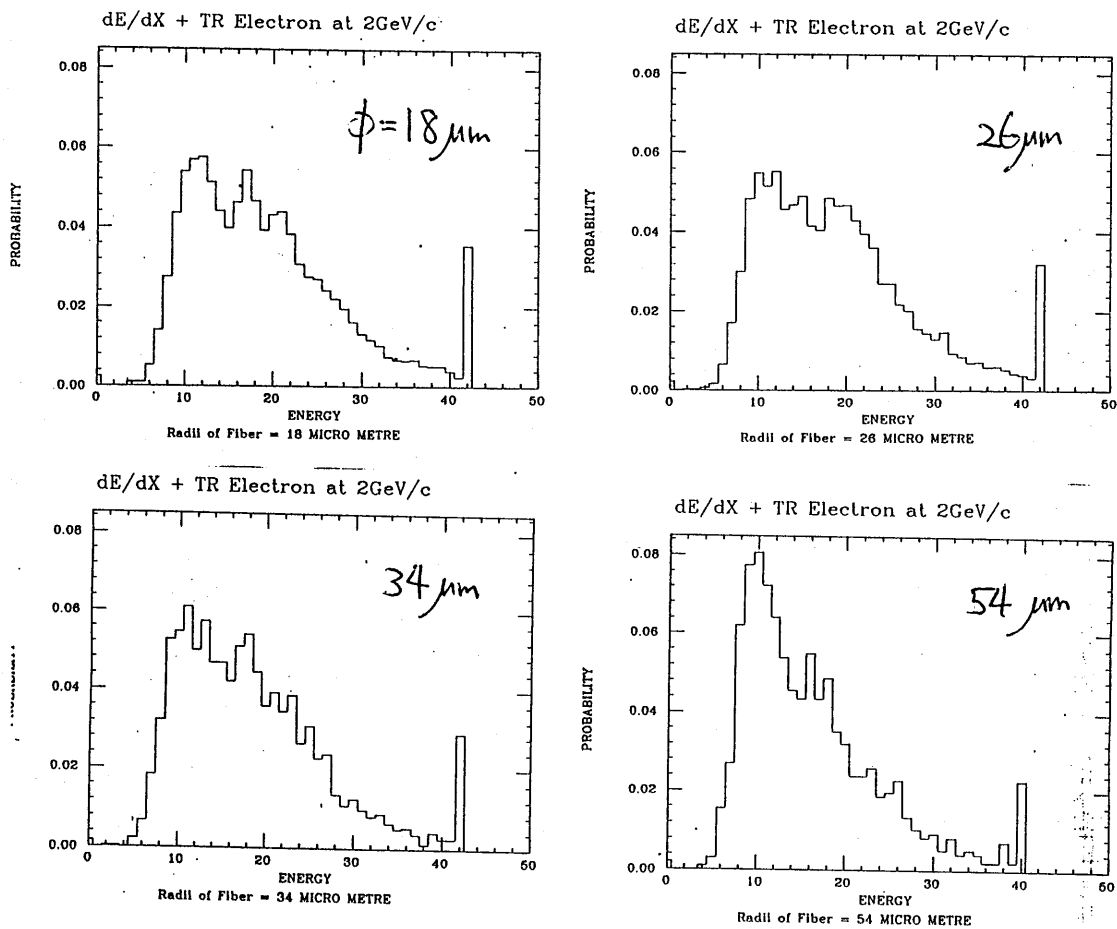


fig. 5-21

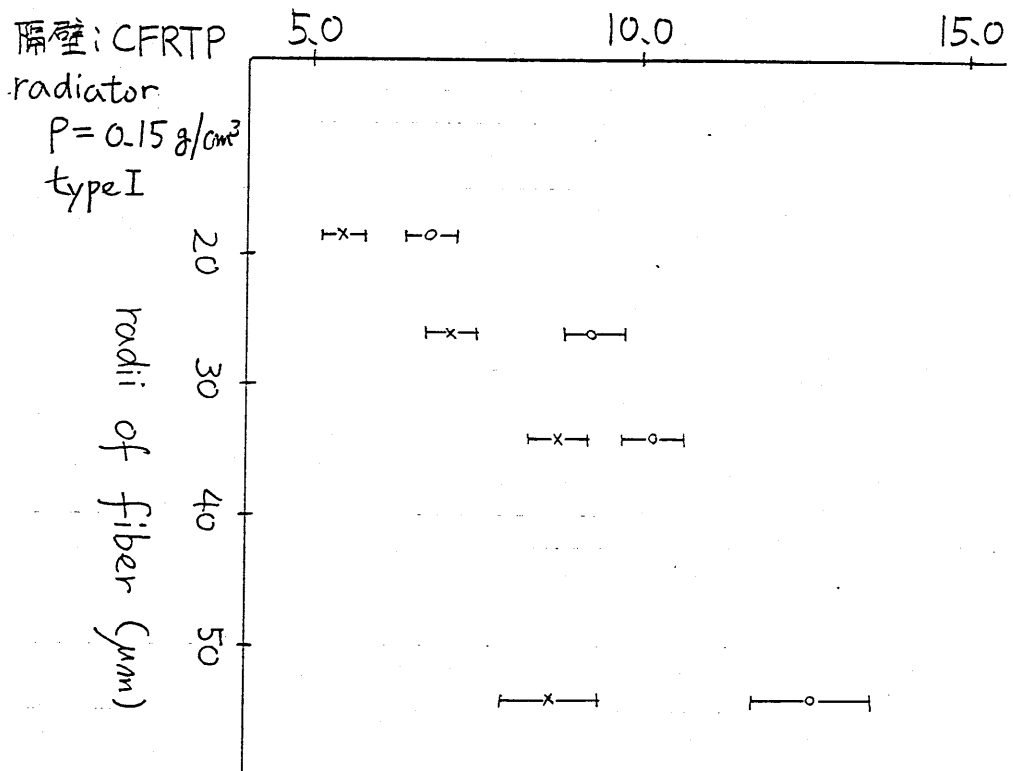


全 $\gamma$  type I, 隔壁 CFRTP

$$\rho = 0.15 \text{ g/cm}^3$$

fig. 5-22

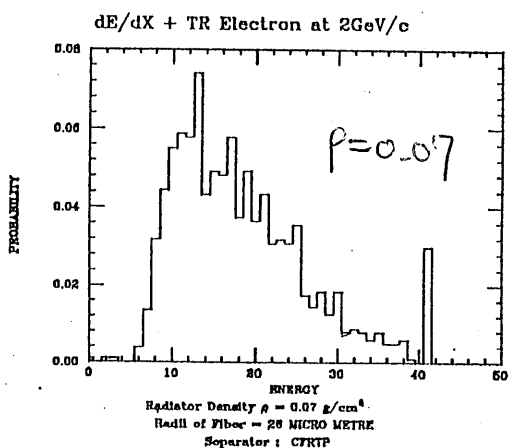
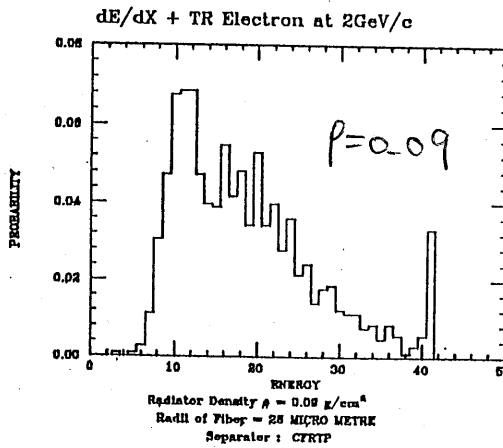
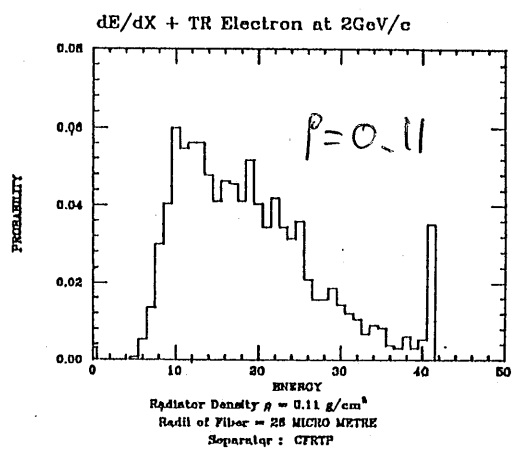
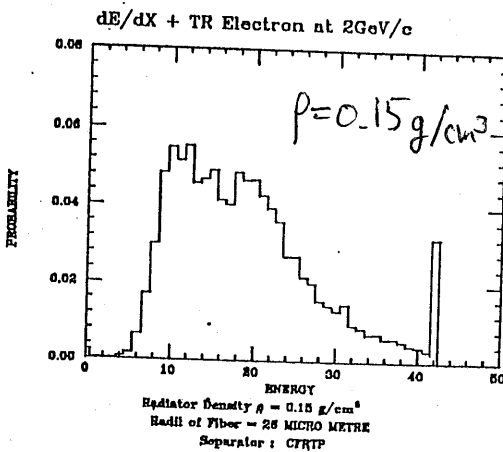
pion contamination (%)  
at electron efficiency 90%



beam momentum  $2 \text{ GeV}/c$

- truncated mean method
- × likelihood method

fig. 5-23



全て radiator type I

$\phi = 26 \mu\text{m}$

隔壁 CFRTP

運動量 2GeV/c

fig. 5-24

pion contamination (%)  
at electron efficiency 90%

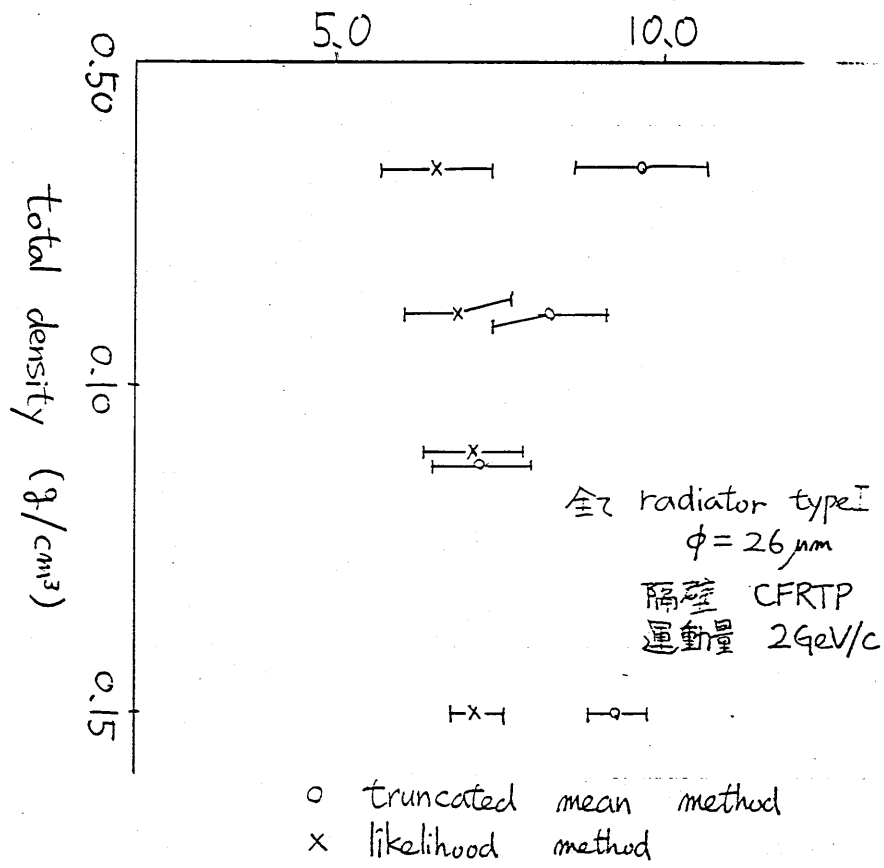


fig. 5-25

pion contamination (%)  
at electron efficiency 90 %

5.0

10.0

radiation

$$\phi = 18 \mu\text{m}$$

$$P = 0.15 \text{ g/cm}^3$$

隔壁

なし

なし

type I

なし

なし

II

CFRTP

なし

I

CFRTP

なし

II

CFRP

なし

III

CFRP

なし

II

radiation

$$\phi = 18 \mu\text{m}$$

$$P = 0.12 \text{ g/cm}^3$$

隔壁

なし

なし

type II

CFRTP

なし

III

CFRP

なし

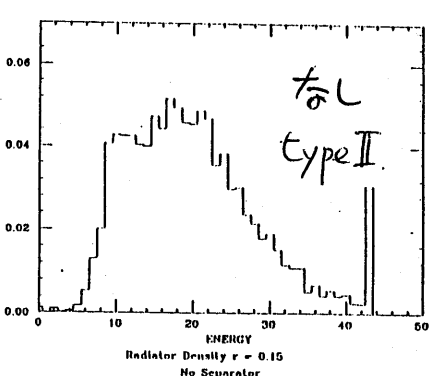
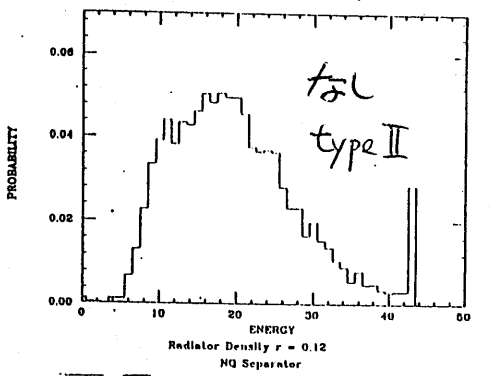
III

- (○) truncated mean method
- (×) likelihood method

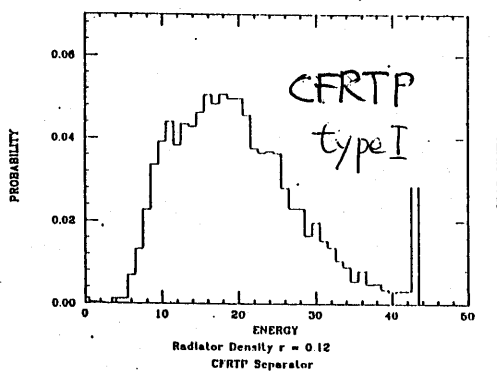
beam momentum  $2 \text{ GeV}/c$

fig. 5-26

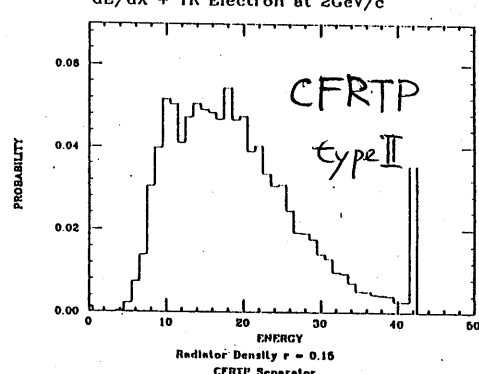
$dE/dX + TR$  Electron at 2GeV/c



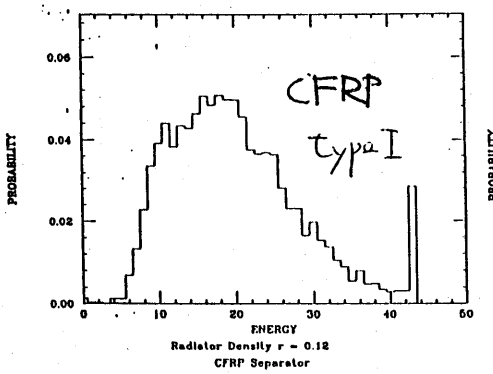
$dE/dX + TR$  Electron at 2GeV/c



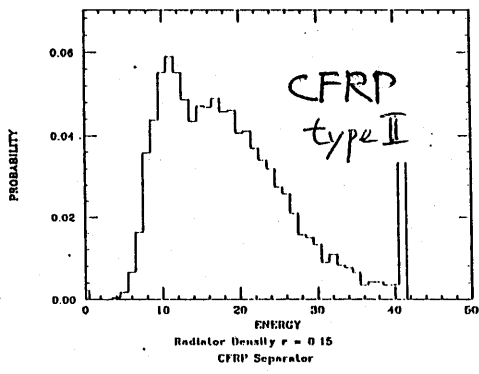
$dE/dX + TR$  Electron at 2GeV/c



$dE/dX + TR$  Electron at 2GeV/c



$dE/dX + TR$  Electron at 2GeV/c



$$\rho = 0.12 \text{ g/cm}^3$$

(a)

$$\rho = 0.15 \text{ g/cm}^3$$

(b)

fig 5-27